



## Evaluating the Efficiency of Bivariate Models in Determining Subsidence Susceptibility of Kashan Plain Aquifer

Narges Saghazadeh<sup>a</sup>, Hoda Ghasemieh<sup>b\*</sup>, Ebrahim Omidvar<sup>b</sup>, Yaser Maghsoudi<sup>c</sup>

<sup>a</sup> PhD Graduated Students in Watershed Management Engineering and Sciences, Faculty of Natural Resources and Earth Sciences, University of Kashan, Kashan, Iran

<sup>b</sup> Associate Professor, Department of Nature Engineering, Faculty of Natural Resources and Earth Sciences, University of Kashan, Kashan, Iran

<sup>c</sup> Associate Professor, Department of Photogrammetry and Remote Sensing, Faculty of Geodesy and Geomatics Engineering, Khajeh Nasir Toosi University of Technology, Tehran, Iran

*Received: 4 February 2022*

*Revised: 19 May 2022*

*Accepted: 29 May 2022*

### Abstract

Land subsidence is one of the most important environmental problems that affects agriculture and urban infrastructure. In order to plan for mitigating the damages caused by land subsidence, it is necessary to identify high-risk and prone areas for this phenomenon specially in different plains of Iran. The main purpose of this research was zoning the land subsidence in Kashan aquifer using Dempster-Schafer, Weight of Evidence, Shannon Entropy, and Frequency Ratio. To conduct this research, 14 factors affecting the occurrence of subsidence including elevation, slope, slope direction, surface curvature, distance from stream, distance from fault, distance from road, lithology, land use, longitudinal and transverse curvature, water table changes, distance from mining and well density in aquifer surface were used. Then, determining 108 subsidence positions and 108 non-subsidence positions at the aquifer level, these points were randomly classified as 30% and 70% as validation data and test data, respectively. To evaluate each of the models, the ROC curve was used. The results showed that among the used methods based on the ROC curve and the amount of AUC, the Frequency Ratio method (training: 0.84 and validation: 0.89) performed best and is introduced as the best method for predicting areas with subsidence sensitivity in studied area. Shannon Entropy, Dempster-Schafer and Weight of Evidence were also ranked next, respectively. The results of this study can be used by provincial managers to reduce the damage caused by land subsidence and to determine areas with subsidence sensitivity.

**Keywords:** Groundwater, Kashan plain, Bivariate approach, Subsidence, Machine learning

\*. Corresponding author: Hoda Ghasemieh E-mail: h.ghasemieh@Kashanu.ac.ir Tel: + 989132613779

**How to cite this Article:** Saghazadeh, N., Ghasemieh, H., Omidvar, E., & Maghsoudi, Y., (2023). Evaluating the efficiency of bivariate models in determination of subsidence susceptibility of Kashan Plain Aquifer. *Journal of Geography and Environmental Hazards*, 11(4), 69-98.

**DOI:** 10.22067/geoeh.2022.75050.1168



Journal of Geography and Environmental Hazards are fully compliant With open access mandates, by publishing its articles under Creative Commons Attribution 4.0 International License (CC BY 4.0).



Creative Commons Attribution 4.0 International License (CC BY 4.0)



## Geography and Environmental Hazards Volume 11, Issue 4 - Number 44, Winter 2023

<https://geoeh.um.ac.ir> <https://doi.org/10.22067/geoeh.2022.75050.1168>

جغرافیا و مخاطرات محیطی، سال یازدهم، شماره چهل و چهارم، زمستان ۱۴۰۱، صص ۶۹-۹۸

مقاله پژوهشی

ویژه‌نامه (چالش جهانی فرونشست زمین: مدیریت بحران یا بحران مدیریت)

### ارزیابی کارایی مدل‌های دو متغیره در تعیین حساسیت‌پذیری فرونشست آبخوان دشت کاشان

نرگس سقازاده- دانش آموخته دکتری علوم و مهندسی آبخیزداری، دانشکده منابع طبیعی و علوم زمین، دانشگاه کاشان، کاشان، ایران.

هدی قاسمیه<sup>۱</sup>- دانشیار گروه مهندسی طبیعت، دانشکده منابع طبیعی و علوم زمین، دانشگاه کاشان، کاشان، ایران.

ابراهیم امیدوار- دانشیار گروه مهندسی طبیعت، دانشکده منابع طبیعی و علوم زمین، دانشگاه کاشان، کاشان، ایران.

یاسر مقصودی- دانشیار گروه فتوگرامتری و سنجش از دور، دانشکده مهندسی نقشه‌برداری، دانشگاه خواجه نصیرالدین طوسی، تهران، ایران.

تاریخ دریافت: ۱۴۰۰/۱۱/۱۵      تاریخ بازنگری: ۱۴۰۱/۲/۲۹      تاریخ تصویب: ۱۴۰۱/۳/۸

#### چکیده

فرونشست زمین یکی از مهم‌ترین مشکلات محیط‌زیستی است که بر کشاورزی و زیرساخت‌های شهری تأثیر می‌گذارد. لذا به‌منظور برنامه‌ریزی برای کاهش خطرات ناشی از فرونشست، شناسایی مناطق پرخطر و مستعد وقوع این پدیده در دشت‌های مختلف ایران ضروری است. هدف اصلی این تحقیق، حساسیت‌پذیری فرونشست زمین در آبخوان کاشان با استفاده از روش‌های دمپستر- شفر، وزن‌دهی شواهد، آنتropی شانون و نسبت فراوانی است. برای انجام این تحقیق از ۱۴ عامل مؤثر بر وقوع فرونشست شامل ارتفاع، شب، جهت شب، انحنای سطح، فاصله از آبراهه، فاصله از گسل، فاصله از جاده، لیتوژئی، کاربری اراضی، انحنای طولی و عرضی، تغییرات سطح ایستابی، فاصله از معدن و تراکم چاه در سطح آبخوان استفاده شد. آنگاه پس از تعیین ۱۰۸ موقعیت فرونشست و نیز ۱۰۸ موقعیت عدم فرونشست در سطح آبخوان، این نقاط به صورت تصادفی و به نسبت ۳۰ و ۷۰ درصد به ترتیب به عنوان داده‌های اعتبارسنجی و داده‌های آزمون طبقه‌بندی شدند و برای ارزیابی هر کدام از مدل‌ها از منحنی تشخیص

Email: h.ghasemieh@kashanu.ac.ir

۱ نویسنده مسئول: ۰۹۱۳۲۶۱۳۷۷۹

نحوه ارجاع به این مقاله:

سقازاده، نرگس، قاسمیه، هدی، امیدوار، ابراهیم، مقصودی، یاسر. (۱۴۰۱). ارزیابی کارایی مدل‌های دو متغیره در تعیین حساسیت‌پذیری فرونشست آبخوان دشت کاشان. *جغرافیا و مخاطرات محیطی*, ۱۱(۴). صص ۶۹-۹۸

<https://doi.org/10.22067/geoeh.2022.75050.1168>

عملکرد نسبی (ROC) استفاده شد. نتایج نشان داد که از بین روش‌های مورداستفاده بر اساس منحنی ROC و میزان AUC، روش نسبت فراوانی (آموزش: ۸۴/۰ و اعتبارسنجی: ۸۹/۰) بهترین عملکرد را داشته است و به عنوان بهترین روش پیش‌بینی مناطق دارای حساسیت فرونشست در منطقه مطالعاتی معرفی شود. روش‌های آنتروبی شانون، دمپستر- شفر و وزن‌دهی شواهد نیز به ترتیب در رتبه‌های بعدی قرار گرفتند. نتایج این تحقیق برای کاهش خسارات ناشی از وقوع فرونشست زمین و تعیین مناطق بالقوه فرونشست، قابل استفاده برای مدیران استانی خواهد بود.

**کلیدواژه‌ها:** آب زیرزمینی، دشت کاشان، روش‌های دومتغیره، فرونشست، یادگیری ماشینی

#### ۱- مقدمه

فرونشست زمین<sup>۱</sup> که باعث تغییر شکل سطح زمین می‌شود، پدیده خطرناکی است که می‌تواند خسارات بزرگی به زمین وارد کند ([قربانزاده و همکاران، ۲۰۱۸](#)). این پدیده از جمله مهم‌ترین مخاطرات زمین‌شناسی است که موجب تغییر در توپوگرافی سطح زمین می‌شود و این موضوع ناشی از ضعف ساختاری لایه‌های زیرزمینی است و در بیشتر مواقع برگشت‌ناپذیر است ([ashraf و cawood، ۲۰۱۵](#)).

در دهه‌های اخیر، گزارش‌هایی اعلام شده که تخلیه آبخوان بر کاهش کیفیت آب، فرونشست زمین و ترک خوردن زمین تأثیر گذاشته است ( [Zhou و Li، ۲۰۱۱](#)). فرونشست زمین یک پدیده جهانی است که از فرایندهای طبیعی مانند تراکم خودکار و فعالیت‌های زمین‌ساختی و همچنین فعالیت‌های انسانی که منجر به خروج و بهره‌برداری بی‌رویه از آب، نفت و سایر سیالات از درون زمین می‌شود، ناشی می‌شود و می‌تواند آسیب جدی به زیرساخت‌های اقتصادی بزند ([گالوی و همکاران، ۲۰۱۳](#); [Liang و همکاران، ۲۰۲۲](#)).

به نظر می‌رسد که در بین عوامل مؤثر در ایجاد فرونشست، برداشت بیش از حد مجاز از منابع آب زیرزمینی، عامل اصلی ایجاد فرونشست در بیشتر دشت‌های ایران باشد؛ به‌گونه‌ای که در بیست و یکمین کارگروه ملی فرونشست زمین و حفاظت از منابع آب زیرزمینی، بیشتر دشت‌های کشور در معرض خطر فرونشست بر اثر برداشت بی‌رویه از ذخایر آب زیرزمینی تشخیص داده شدند ([رنجبر و جعفری، ۱۳۸۸](#)). طی پژوهش‌های صورت گرفته توسط محققین، بهره‌برداری و استخراج آب‌های زیرزمینی در چندین کشور در سراسر زمین شامل مکزیک، ایتالیا، ایران، ویتنام و

1 Land Subsidence

2 Ghorbanzadeh

3 Ashraf & Cawood

4 Zhou & Li

5 Galloway

6 Liang

چین، نقش مهمی در ایجاد فرونشست زمین ایفا کرده است (یو<sup>۱</sup> و همکاران، ۲۰۲۰؛ ژو<sup>۲</sup> و همکاران، ۲۰۲۰؛ تای<sup>۳</sup> و همکاران، ۲۰۲۱؛ نوین<sup>۴</sup> و همکاران، ۲۰۲۲. اکبری، ۱۴۰۰؛ قره‌چلو و همکاران، ۱۴۰۰).

در سال‌های اخیر، روش‌های یادگیری ماشینی<sup>۵</sup> و روش‌های دومتغیره<sup>۶</sup> همراه با استفاده از سامانه اطلاعات جغرافیایی در مقایسه با روش‌های سنتی در زمینه تعیین مناطق حساس به فرونشست که زمان بر هستند، دارای کارایی بالایی بوده‌اند و باعث افزایش دقت و سرعت در زمینه ارزیابی و پتانسیل فرونشست شده‌اند. فاکتورهای مختلفی از طیف وسیعی از پارامترهای محیطی از قبیل فاکتورهای هیدرولوژیکی، فاکتورهای اقلیمی، فاکتورهای توپوگرافیک، فاکتورهای اکولوژیک، فاکتورهای ژئولوژیکی و فاکتورهای انسانی بر میزان حساسیت فرونشست تأثیرگذار هستند. در این میان، روش‌های یادگیری ماشینی (مدل‌های جنگل تصادفی<sup>۷</sup>، حداقل آنتروپی<sup>۸</sup>، شبکه عصبی مصنوعی<sup>۹</sup> و ماشین بردار پشتیبان<sup>۱۰</sup>) و دومتغیره (مدل‌های نسبت فراوانی<sup>۱۱</sup>، دمپستر–شفر<sup>۱۲</sup>، وزن دهی شواهد<sup>۱۳</sup> و رگرسیون خطی<sup>۱۴</sup> و لجستیک<sup>۱۵</sup>) وجود دارد که به محققان اجازه می‌دهد نقشه حساسیت فرونشست را تهیه کنند و با تعیین روابط آماری بین عوامل محیطی و توزیع مکانی فرونشست‌ها، احتمال مکانی وقوع فرونشست را ارزیابی و پیش‌بینی کنند. در سال‌های اخیر از تکنیک‌های رایج از جمله یادگیری ماشین و روش‌های آماری و دو متغیره برای تخمین میزان فرونشست و بررسی علل این پدیده استفاده شده است. به عنوان مثال پرادهان و ابوخاریما<sup>۱۶</sup> (۲۰۱۴) در تحقیقی، میزان فرونشست زمین را در دره کیتاپراک مالزی با استفاده از GIS و روش‌های سنجش از دور برآورد نمودند. در این تحقیق، ۱۴ شاخص به عنوان عوامل مؤثر بر میزان فرونشست در نظر گرفته شد. آن‌ها بهمنظور تهیه نقشه حساسیت پذیری فرونشست از دو روش تابع باور شهودی<sup>۱۷</sup> و نسبت فراوانی استفاده کردند و ارزیابی مدل‌ها در این پژوهش با استفاده از سطح زیر منحنی ROC<sup>۱۸</sup> (AUC<sup>۱۹</sup>) اعتبارسنجی شد. یافته‌های این پژوهش نشان داد که مدل

1 Yu

2 Zhu

3 Ty

4 Nguyen

5 Machine Learning

6 Bivariate

7 RF: Random Forest

8 MF: Maximum Entropy

9 ANN: Artificial Neural Network

10 SVM: Support Vector Machine

11 FR: Frequency Ratio

12 Dempster–Shafer

13 WOF: Weight Of Evidence

14 Linear regression

15 Logistic Regression

16 Pradhan &amp; Abokharima

17 EBF: Evidential Belief Function

18 ROC: Relative Operating Curve

19 AUC: Area Under Curve

نسبت فراوانی قادر به ایجاد نرخ پیش‌بینی ۷۱/۱۶ درصد است، درحالی که مدل تابع باور شهودی پیش‌بینی بهتری را با نرخ ۷۳/۶۳ درصد نشان داد. [تین بویی<sup>۱</sup>](#) و [همکاران \(۲۰۱۸\)](#) با استفاده از چهار مدل رگرسیون لجستیک بیزین<sup>۲</sup>، ماشین بردار پشتیبان، درخت مدل لجستیک<sup>۳</sup> و درخت تصمیم متناوب<sup>۴</sup> و ۸ عامل مؤثر، حساسیت فرونشست زمین در کره جنوبی را ارزیابی کردند و به این نتیجه رسیدند که مدل رگرسیون لجستیک بیزین از دقت بالاتری برخوردار بوده است. همچنین برداشت بی‌رویه آب زیرزمینی را عامل فرونشست در منطقه موردمطالعه بیان کردند. [رحمتی<sup>۵</sup>](#) و [همکاران \(۲۰۱۹a\)](#) به بررسی خطر فرونشست در دشت همدان با استفاده از چهار مدل درخت تصمیم قانون محور<sup>۶</sup>، درخت رگرسیون تقویت شده<sup>۷</sup>، رگرسیون درختی و طبقه‌بندی<sup>۸</sup> و جنگل تصادفی پرداختند. آن‌ها برای انجام مدل‌سازی و تهیه نقشه خطر فرونشست از شش عامل استفاده کردند. درنهایت بیان داشتند که روش جنگل تصادفی بهترین نتیجه را داشته و کاهش سطح آب زیرزمینی، لیتولوژی و فاصله از آبراهه‌ها مهم‌ترین عوامل مؤثر بر فرونشست بوده‌اند.

فرونشست در دشت کاشان برای اولین بار در سال ۱۳۷۰ به صورت شکاف‌هایی در بخش‌هایی از دشت مشاهده گردید که باعث تخریب واحدهای مسکونی و زمین‌های کشاورزی گردید ([قاضی‌فرد و همکاران، ۱۳۹۰](#)). علت این عوارض در آن زمان، استخراج بی‌رویه آب زیرزمینی عنوان شد. اما به دلیل گسترش شکاف‌ها و پیشروی آن‌ها در بسیاری از نقاط دشت، بررسی جامع این پدیده به منظور شناخت کامل این عوارض، تعیین محدوده تأثیرپذیر، پیش‌بینی نحوه گسترش و در صورت امکان، جلوگیری از توسعه و تشديد آن‌ها، پیشنهاد گردید ([مصلحی بهارانچی و همکاران، ۱۳۹۰](#)). لذا در این تحقیق تلاش می‌شود با استفاده از مدل‌های دومتغیره، نقشه‌های حساسیت فرونشست در آبخوان دشت کاشان تهیه شود تا مناطق پر خطر شناسایی شوند. در نظر گرفتن ۱۴ عامل مؤثر و به کارگیری آن‌ها در مدل‌های دو متغیره برای تهیه نقشه‌های حساسیت‌پذیری فرونشست در آبخوان دشت کاشان، از نوآوری‌های تحقیق حاضر محسوب می‌شود.

<sup>1</sup> Tien Bui

<sup>2</sup> BLR: Bayesian Logistic Regression

<sup>3</sup> LMT: Logistic Model Tree

<sup>4</sup> ADT: Alternate Decision Tree

<sup>5</sup> Rahmati

<sup>6</sup> RBDT: Rule-Based Decision Tree

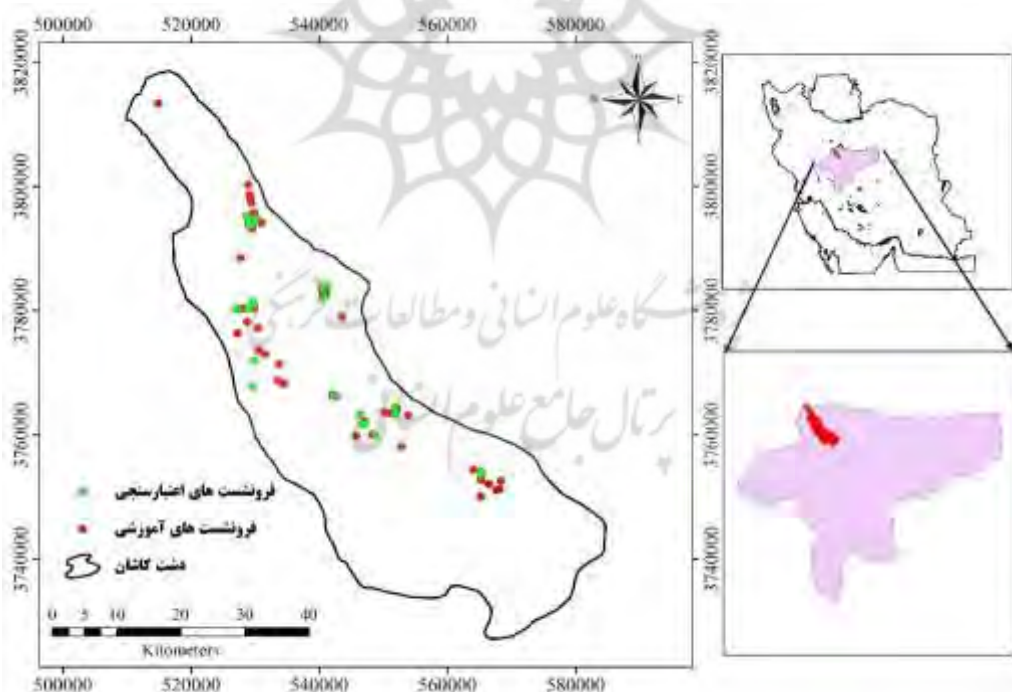
<sup>7</sup> BRT: Boosted Regression Trees

<sup>8</sup> CART: Classification And Regression Tree□

## ۲- مواد و روش

### ۱-۲- منطقه مورد مطالعه

حوزه آبخیز دشت کاشان، در جنوب حوزه آبخیز بزرگ دریاچه نمک بین طول جغرافیایی  $50^{\circ}$  درجه و  $54^{\circ}$  دقیقه تا  $52^{\circ}$  درجه و  $6^{\circ}$  دقیقه شرقی و عرض جغرافیایی  $33^{\circ}$  درجه و  $36^{\circ}$  دقیقه تا  $34^{\circ}$  درجه و  $30^{\circ}$  دقیقه شمالی واقع شده است. این حوضه دارای وسعت ۶۹۵۰ کیلومترمربع است. دشت کاشان در دامنه کوه‌های کرکس و حاشیه کویر مرکزی ایران در حدود ۲۴۰ کیلومتری جنوب تهران و بین طول‌های جغرافیایی  $51^{\circ}$  و  $52^{\circ}$  درجه شرقی و عرض‌های  $33^{\circ}/30^{\circ}$  و  $34^{\circ}/30^{\circ}$  درجه شمالی درجه قرار دارد (شکل ۱). آبخوان دشت کاشان، دارای وسعت  $221763/4$  هکتار است که البته بخش‌هایی از آن به دلیل شور بودن آب‌های زیرزمینی، قابل استفاده نیست. دشت کاشان، به صورت یک دره باریک دارای امتداد شمال غربی-جنوب شرقی است. حداقل و حداًکثر ارتفاع دشت کاشان از سطح دریا، به ترتیب ۸۰۰ و ۱۲۰۰ متر در قسمت حاشیه شرقی و غربی دشت کاشان است (میرزاوند و همکاران، ۱۳۹۷). دامنه تغییرات ارتفاعی منطقه مطالعاتی در این پژوهش نیز بین ۸۰۳ الی ۱۶۷۱ متر است و از شمال و شمال غربی منطقه مطالعاتی به سمت جنوب و جنوب غربی، ارتفاع از سطح دریا در حال افزایش است.

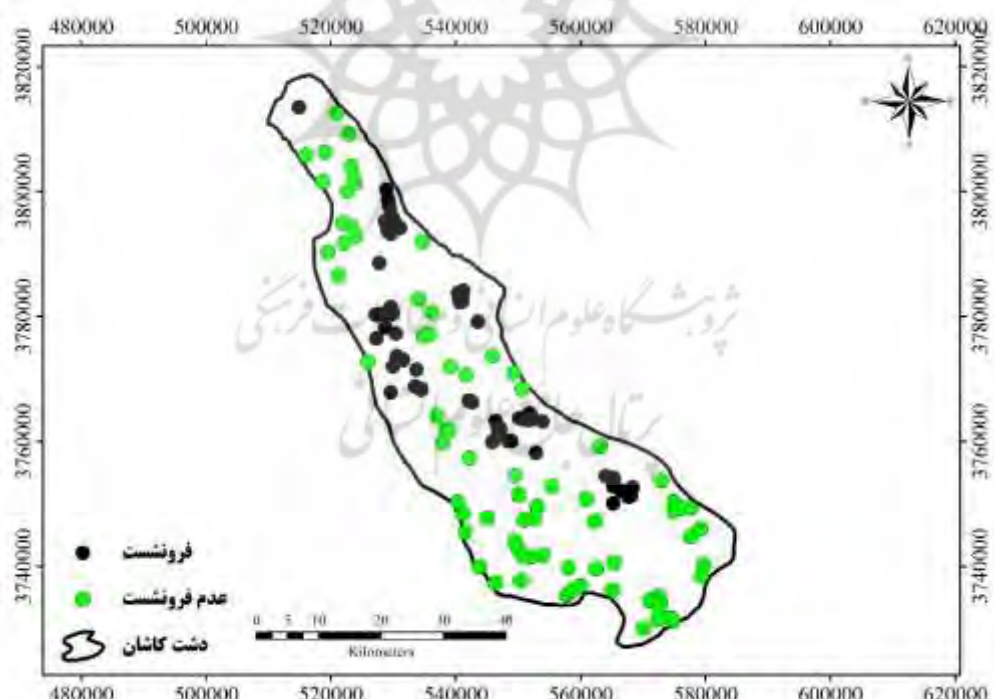


شکل ۱- موقعیت دشت کاشان در استان اصفهان و ایران

## ۲-۲- روش‌شناسی تحقیق

### ۱-۲-۲- تهیه نقشه پراکنش نقاط وقوع و عدم وقوع فرونشست

ابتدا بهمنظور تهیه نقشه پراکنش نقاط وقوع و عدم وقوع فرونشست، بازدیدهای میدانی از سطح دشت بهویژه در مناطقی که چاههای پیزومتری و بهره‌برداری وجود داشت، انجام گرفت و درنهایت تعداد ۱۰۸ مورد فرونشست مشخص شد که با استفاده از GPS موقعیت جغرافیایی این نقاط برداشت و ثبت شد. بهمنظور ارزیابی مدل‌های دو متغیره علاوه بر این ۱۰۸ مورد، تعداد ۱۰۸ نقطه فاقد فرونشست نیز طی عملیات صحرایی ثبت شد (شکل ۲). ذکر این نکته ضروری است که بهمنظور انتخاب اولیه این نقاط، ابتدا از نقشه میزان فرونشست دشت که در مطالعه‌ای موازی به روش تداخل‌سنگی راداری توسط نویسنده‌گان تهیه شده استفاده گردید و مناطق فاقد فرونشست شناسایی شدند. سپس طی عملیات صحرایی نقاطی که فاقد هرگونه آثار فرونشست در اطراف خود بودند به عنوان نقاط عدم فرونشست ثبت شدند. لازم به ذکر است که بخش جنوب غربی آبخوان دشت کاشان همان منطقه تپه‌ماهوری و مخروط‌افکنهای اطراف شجاع‌آباد و احمد‌آباد (فاصله بین جاده قدیم بادرود و اتوبان اصلی) است که فرونشست در آن‌ها مشاهده نشد.



شکل ۲- نقشه پراکنش نقاط وقوع و عدم وقوع فرونشست

## ۲-۲-۲- تهیه نقشه عوامل مؤثر بر وقوع فرونشست

مطابق با سوابق پژوهشی (مختاری و همکاران، ۱۳۹۸؛ محمدی<sup>۱</sup> و همکاران، ۲۰۱۹؛ قربانزاده و همکاران، ۲۰۱۸؛ عبداللهی و همکاران، ۲۰۱۹؛ رحمتی<sup>۲</sup> و همکاران، ۲۰۱۹b) و بازدیدهای میدانی بهمنظور انجام مدل‌سازی میزان فرونشست در سطح آبخوان دشت کاشان، تعداد ۱۴ عامل مؤثر بر وقوع فرونشست در چهار گروه کلی عوامل توپوگرافیک (شیب، جهت، ارتفاع از سطح دریا، انحنای طولی دامنه<sup>۳</sup>، انحنای عرضی دامنه<sup>۴</sup> و انحنای ترکیبی دامنه<sup>۵</sup>)، عوامل زمین‌شناسی (سنگ‌شناسی و فاصله از گسل)، عوامل انسانی (کاربری اراضی، فاصله از جاده، تراکم چاههای بهره‌برداری و فاصله از معادن) و همچنین عوامل هیدرولوژیک (تغییرات سطح ایستابی و فاصله از آبراهه) در نظر گرفته شدند.

### - عوامل توپوگرافیک

بهمنظور تهیه نقشه عوامل توپوگرافیک از نقشه‌های مدل رقومی ارتفاع آبخوان دشت کاشان با قدرت تفکیک مکانی ۱۲/۵ متر استفاده شد. این نقشه‌ها مستخرج از داده‌های سنجش از دور ماهواره ALOS<sup>۶</sup> بوده و از پایگاه https://vertex.daacc.asf.alaska.edu دانلود شد. یکی از عوامل مؤثر بر وقوع فرونشست، عامل ارتفاع از سطح دریا است. تغییرات ارتفاع موجب تغییرات بارندگی می‌شود و درنتیجه بر میزان هوازدگی و میزان نفوذ آب تأثیرگذار است (تیموری و اسدی نیلوان، ۱۳۹۸؛ رحمتی و همکاران، ۲۰۱۹a). این نقشه با استفاده از دستور Reclassify روی نقشه مدل رقومی ارتفاع در پنج طبقه ارتفاعی به دست آمد. عامل شیب نیز یکی از متغیرهای پستس و بلندی خیلی مهم در وقوع فرونشست زمین است (رحمتی و همکاران، ۲۰۱۹a). جهت شیب نیز بر میزان دریافت و نفوذ بارندگی، تبیخ و تعرق و میزان رطوبت اثرگذار است و بر همین اساس، نوع پوشش گیاهی و توزیع آن را تحت تأثیر قرار می‌دهد (شفایپور تهرانی<sup>۷</sup> و همکاران، ۲۰۱۷). لایه‌های شیب و جهت شیب با استفاده از مدل رقومی ارتفاعی مورداشاره و به ترتیب از توابع Slope و Aspect در محیط نرم‌افزار Arc GIS 10.4 ARC GIS تهیه شدند. نقشه‌های انحنای عرضی، انحنای طولی و انحنای عمومی از مدل رقومی ارتفاعی دشت و با استفاده از دستورهای مربوطه در محیط Arc GIS تهیه شدند. در این مطالعه برای طبقه‌بندی نقشه‌های این عوامل از روش شکست طبیعی<sup>۸</sup> استفاده شد. این شاخص‌ها در حقیقت انحنای مورفولوژیک و توپوگرافیک منطقه را نشان می‌دهند (رضوی و شیرانی، ۱۳۹۷) و در شیب‌های مقعر

۱ Mohammady

۲ Rahmati

۳ Profile Curvature

۴ Plan Curvature

۵ Curvature

۶ Advanced Land Observation Satellite

۷ Shafapour Tehrany

۸ Natural break

باعث تجمع آب و در شیب‌های محدب باعث افزایش رواناب می‌شوند (نفیسی و همکاران<sup>۱</sup>، ۲۰۱۴؛ تیموری و اسدی نیلوان، ۱۳۹۸). این شاخص‌ها بر روی هم‌گرایی و واگرایی جریان در شیب‌های مقعر و محدب تأثیرگذار هستند (ال-ابادی و همکاران<sup>۲</sup>، ۲۰۱۶؛ عبداللهی و همکاران، ۲۰۱۹).

#### - عوامل زمین‌شناسی

نوع سنگ و سازندگان موجود در یک منطقه، عامل بسیار مهمی در وقوع فرونشست محسوب می‌شوند و واحدهای سنگی مختلف دارای درجات حساسیت گوناگونی در وقوع فرونشست زمین هستند (رحمتی و همکاران، ۲۰۱۹ a؛ کیانتزیان<sup>۳</sup> و همکاران، ۲۰۱۴؛ زمانی‌راد<sup>۴</sup> و همکاران، ۲۰۲۰). در پژوهش حاضر، لایه سنگ‌شناسی منطقه مورد مطالعه از نقشه‌های زمین‌شناسی شیت‌های کاشان، آران و کهک با مقیاس ۱:۱۰۰۰۰۰ که توسط سازمان زمین‌شناسی کشور تهیه شده، استخراج گردید. وجود گسل نیز تأثیر زیادی در فرونشست زمین دارد (قریان‌زاده و همکاران، ۲۰۱۸؛ رحمتی و همکاران، ۲۰۱۹ b، مختاری و همکاران، ۱۳۹۸). بدین‌منظور از عامل فاصله از گسل استفاده شد. با توجه به این که برخی از گسل‌ها در فاصله نزدیکی خارج از منطقه مورد قرار دارند و می‌توانند تأثیر خود را در نواحی حاشیه‌ای بگذارند؛ لذا در این پژوهش، گسل‌های اطراف منطقه نیز مورد بررسی و توجه قرار گرفتند. همچنین در روش‌های دو متغیره مورد استفاده در این تحقیق، محاسبات بر اساس طبقه‌بندی عوامل مؤثر انجام گردید. از این‌رو، این متغیر نیز به صورت طبقات مختلف فاصله از گسل ارائه گردید و در نهایت، نقشه فاصله از گسل با توجه به محل گسل‌های اصلی و فرعی داخل و اطراف دشت و با استفاده از دستور Multi ring buffer با فواصل ۵۰۰ متری در نرم‌افزار Arc GIS 10.4 تهیه شد.

#### - عوامل انسانی

ازجمله عوامل انسانی مؤثر در وقوع فرونشست، کاربری اراضی است. این عامل روی رواناب سطحی و میزان نفوذ آب اثرگذار است و از طریق مقدار نفوذ بر وقوع فرونشست تأثیر می‌گذارد. درنتیجه، پوشش گیاهی نقش مهمی در پایداری دشت دارد (رحمتی و همکاران، ۲۰۱۹ b). در این تحقیق برای عامل کاربری اراضی از نقشه تهیه شده برای مطالعات جامع حوضه کاشان که توسط اداره کل منابع طبیعی و آبخیزداری استان اصفهان در سال ۱۳۹۳ تهیه شده بود، استفاده گردید. همچنین در این مطالعه، قبل از به کارگیری، نقشه مذکور به فرمت kml تبدیل و طی هم‌پوشانی با تصویر متناظر گوگل ارث منطقه، به صورت بصری از دقت و صحت نسبی آن اطمینان حاصل گردیده است.

1 Naghibi et al.

2 Al-Abadi

3 Kaitantzian

4 Zamanirad

فاصله از جاده نیز یکی دیگر از شاخص‌های انسانی است که اثرات آن روی تغییرات سطح زمین می‌تواند منجر به فرونشست شود. در این مطالعه، نقشه شبکه جاده‌های داخل و خارج از دشت نیز از تصاویر Google Earth تهیه و همانند نقشه‌های فاصله از آبراهه‌ها و گسل‌ها با استفاده از ابزار Multi ring buffer به نقشه فاصله از جاده با فواصل ۲۰۰ متری تبدیل شدند.

تعداد بیشتر چاه نیز باعث افزایش تراکم چاه و درنتیجه برداشت بیشتر از آبخوان، به کاهش سطح آب زیرزمینی آبخوان منجر خواهد شد ([قربانزاده و همکاران، ۲۰۱۸](#)). در این راستا، لایه تراکم چاه‌ها بر اساس چاه‌های بهره‌برداری موجود در منطقه و با استفاده ازتابع Point Density بر حسب تعداد در کیلومترمربع در نرم‌افزار Arc GIS 10.4 تهیه شد.

دیگر عامل انسانی، احداث معدن است که از طریق لرزش‌های ناشی از انفجارات معدن کاوی، می‌تواند روی فرونشست دشت تأثیرگذار باشد و منجر به از دست رفتن مواد مغذی خاک و کاهش حاصلخیزی خاک شود ([سان ۱ و همکاران، ۲۰۲۳](#)). در این تحقیق، این عامل به صورت لایه فاصله از معدن در نظر گرفته شده و نقشه آن با استفاده از موقعیت نقاط معادن داخل و خارج از محدوده دشت و با استفاده از دستور Multi ring buffer با فواصل مساوی ۴۰۰۰ متری در نرم‌افزار Arc GIS 10.4 تهیه شد.

### - عوامل هیدرولوژیک

تغییرات سطح ایستابی آب زیرزمینی یکی از مهم‌ترین عوامل مؤثر بر فرونشست است. در هنگام افت سطح آب زیرزمینی، زهکشی آب سبب کاهش فشار هیدرواستاتیکی در لایه رس و تحکیم و فشردگی این لایه‌ها و نشت زمین می‌شود ([کیانی، ۱۳۹۶](#)). به‌منظور تهیه نقشه تغییرات سطح ایستابی، ابتدا آمار سطح ایستابی چاه‌های پیزومنtri واقع در منطقه برای یک دوره ۱۲ ساله (۱۳۸۴-۹۶) از مدیریت منابع آب کاشان اخذ و سپس در هر نقطه چاه با کسر رقوم سطح آب در سال ۹۶ از رقوم سطح آب در سال ۸۴ میزان تغییرات سطح ایستابی در هر چاه به دست آمد. درنهایت با استفاده از روش میانیابی وزن‌دهی معکوس فاصله (IDW)<sup>۱</sup>، نقشه تغییرات سطح ایستابی تهیه شد.

موقعیت آبراهه‌ها نیز به عنوان یک عامل هیدرولوژیک، نقش بسیار مهمی در فرونشست زمین ایفا می‌کنند ([قربانزاده و همکاران، ۲۰۱۸؛ رحمتی و همکاران، ۲۰۱۹؛ مختاری و همکاران، ۲۰۱۹؛ ۲۰۱۹](#)). آبراهه‌ها می‌توانند نقش تغذیه سفره‌های آب زیرزمینی را در موقع سیلابی ایفا نمایند، از این‌رو مناطق نزدیک به آبراهه می‌توانند از این مزیت برخوردار شوند. در این راستا از عامل فاصله از آبراهه استفاده شد. برای تهیه نقشه فاصله از آبراهه ابتدا لازم بود نقشه شبکه زهکشی منطقه مورد مطالعه تهیه شود. بدین‌منظور از ابزار Hydro Arc استفاده و نقشه مذکور تهیه شد. در ادامه،

1 Sun

2 IDW: Inverse Distance Weighting

لایه‌های فاصله از آبراهه بر اساس نقشه آبراهه‌ها و با استفاده از دستور Multi ring buffer با فواصل ۲۰۰ متری در نرم‌افزار Arc GIS تهیه شد. لازم به ذکر است که با مرور منابع و سوابق تحقیقاتی مشخص گردید که با توجه به وسعت و تراکم عوارض خطی در هر منطقه، فواصل در مقالات مختلف متفاوت در نظر گرفته شده است. لذا در این پژوهش چندین و چند حالت برای فواصل در نظر گرفته شد و فواصل بافرهای عوارض خطی بر اساس یک فاصله بهینه انتخاب شد تا طبقات با فرونشست صفر حداقل ممکن شود. درنهایت این فواصل بر اساس واقعیت و شرایط منطقه انتخاب شدند.

### ۳-۲- تعیین حساسیت‌پذیری فرونشست با استفاده از مدل‌های دو متغیره

در این مرحله از پژوهش، از مجموع ۱۰۸ موقعیت فرونشست ثبت شده، بهصورت تصادفی ۷۶ نقطه فرونشست (۷۰ درصد) بهعنوان داده‌های آموزش برای فرایند مدل‌سازی و وزن‌دهی لایه‌ها انتخاب شدند. همچنین تعداد ۳۲ نقطه فرونشست (۳۰ درصد) باقی‌مانده نیز برای اعتبارسنجی (آزمون) مدل‌ها در نظر گرفته شدند (شکل ۲). سپس بهمنظور وزن‌دهی به هر یک از طبقات عوامل مؤثر ۱۴ گانه، از مدل‌های دو متغیره Dempster- Shfer (تابع باور شهودی)، آنتروپی شانون، نسبت فراوانی و وزن شواهد استفاده شد که هر یک از آن‌ها در ذیل تشریح می‌شود:

### ۱-۳-۲- مدل Dempster- Shfer (تابع باور شهودی)

تئوری Dempster-Shfer به عنوان تعمیمی از تئوری بیزین است که مبتنی بر احتمالات است. این تئوری در سال ۱۹۶۷ توسط Dempster به کار برده شد (Dempster<sup>1</sup>, ۱۹۶۷؛ صابرچناری و همکاران, ۱۳۹۶) و در ادامه، ساختار ریاضی آن توسط شفر در سال ۱۹۷۶ تشریح گردید (Shfer<sup>2</sup>, ۱۹۷۶). اگر فرض شود چندین عامل از داده‌های مکانی موجود در منطقه حساس به فرونشست است، هر لایه‌ای از داده‌های مکانی بهصورت  $(l)$  ( $i=1,2,\dots,l$ ) برای تابع هدف  $T_P$  در نظر گرفته می‌شود. بهاین ترتیب  $E_{ij}$  بهدست می‌آید که در آن زویژگی کلاس یا طبقه‌ای از  $E_i$  و دارای توزیع فراوانی از موقعیت‌ها یا ویژگی‌های مثبت و منفی در بروز فرونشست‌هاست. نرخ مثبت با علامت  $(T_P)_{E_{ij}}$  نشان داده می‌شود که از رابطه ۱ بهدست می‌آید (پارک<sup>3</sup>, ۲۰۱۰):

$$\lambda(T_P)_{E_{ij}} = \frac{\frac{N(L \cap E_{ij})}{N(L)}}{\frac{N(E_{ij}) - N(L \cap E_{ij})}{N(A) - N(L)}} \quad (1)$$

نرخ یا نمره منفی نیز با علامت  $(\overline{T}_P)_{E_{ij}}$  نیز از رابطه ۲ بهدست می‌آید:

1 Dempster

2 Shafer

3 Park

$$\lambda(\bar{T}_P)_{E_{ij}} = \frac{\frac{N(L) - N(L \cap E_{ij})}{N(L)}}{\frac{N(A) - N(L) - N(E_{ij}) + N(L \cap E_{ij})}{N(A) - N(L)}} \quad (2)$$

که در آن  $T_P$ : عوامل مؤثر در ایجاد فرونشست،  $\bar{T}_P$ : عواملی است که بر روی فرونشست تأثیری ندارند،  $N(L \cap E_{ij})$ : مساحت فرونشست در هر طبقه،  $N(L)$ : مساحت کل فرونشست‌های منطقه،  $N(E_{ij})$ : مساحت فاقد فرونشست در هر طبقه و  $N(A)$ : مساحت فاقد فرونشست منطقه مطالعاتی است. به طور کلی مقدار نرخ‌های به دست آمده از رابطه‌های ۱ و ۲ در محدوده صفر تا بی‌نهایت متغیر است. لذا با استفاده از رابطه‌های ۳، ۴ و ۵ استانداردسازی صورت می‌گیرد:

$$m(T_P)_{E_{ij}} = \frac{\lambda(T_P)_{E_{ij}}}{\sum \lambda(T_P)_{E_{ij}}} \quad (3)$$

$$m(\bar{T}_P)_{E_{ij}} = \frac{\lambda(\bar{T}_P)_{E_{ij}}}{\sum \lambda(\bar{T}_P)_{E_{ij}}} \quad (4)$$

$$m(\Theta) = 1 - m(T_P)_{E_{ij}} - m(\bar{T}_P)_{E_{ij}} \quad (5)$$

در این رابطه‌ها،  $m(T_P)_{E_{ij}}$  میزان اعتقاد به وقوع فرونشست،  $m(\bar{T}_P)_{E_{ij}}$  میزان اعتقاد به عدم وقوع فرونشست و  $m(\Theta)$  میزان نرخ نهایی هستند (پارک، ۲۰۱۰).

### ۲-۳-۲- روش آنتروپی شانون

روش آنتروپی شانون در سال ۱۹۴۸ توسط شانون ارائه شد. این روش به عنوان یکی از معروف‌ترین روش‌های تصمیم‌گیری چند معیاره برای محاسبه وزن‌های معیارها و شاخص‌ها شناخته شده است. در این روش معمولاً به هر یک از شاخص‌ها یک وزن نسبت داده می‌شود، به طوری که مجموع وزن شاخص‌ها برابر ۱ باشد. در این روش هر چه پراکندگی در مقادیر یک شاخص بیشتر باشد، آن شاخص از اهمیت بیشتری برخوردار است. شانون نشان داد که وقایع با احتمال وقوع زیاد، اطلاعات کمتری در اختیار می‌گذارند و بر عکس هرچقدر احتمال وقوع یک رخداد کمتر باشد، اطلاعات حاصل از آن بیشتر است. با به دست آوردن اطلاعات جدید، در واقع عدم قطعیت‌ها کاهش یافته و ارزش اطلاعات جدید برابر با مقداری است که از عدم قطعیت کاسته شده است. در نتیجه، عدم قطعیت و اطلاعات پارامترهایی وابسته به هم هستند. در این پژوهش به منظور تعیین میزان حساسیت فرونشست و ترسیم نقشه با استفاده از مدل آنتروپی شانون از رابطه‌های زیر استفاده شد (پورقاسمی و همکاران، ۲۰۱۲):

$$(P_{ij}) = P_{ij} / \sum_{j=1}^{S^j} P_{ij} \quad (6)$$

$$H_j = - \sum_{j=1}^{S^j} (P_{ij}) (\log_2 P_{ij}), \quad j = 1 \dots n \quad (7)$$

$$H_{jmax} = \log_2 S_j \quad (8)$$

$$I_j = \frac{H_{jmax} - H_j}{H_{jmax}} \quad I = (0.1) . \quad j = 1.2 \dots n \quad (9)$$

$$W_j = I_j P_{ij} \quad (10)$$

که در آن،  $P_{ij}$  تراکم یا نسبت فراوانی (FR) فرونشست در هر طبقه است که در رابطه ۱۰ نحوه محاسبه آن توضیح داده می‌شود.  $P_{ij}$  احتمال وجود فرونشست در هر عامل و کلاس‌های مرتبط با آن،  $Z_j$  و  $H_{max}$  مقادیر آنتروپی و ماکزیمم آنتروپی،  $I_j$  ضریب اطلاعات،  $S_j$  تعداد طبقه‌ها و  $W_j$  وزن نهایی هر عامل است. بعد از تعیین وزن نهایی هر عامل و ضرب آن در کلاس‌های عامل مذکور، یعنی مقدارهای  $Z_j P_{ij}$  مربوط به هر عامل و کلاس‌های آن بر اساس تقسیم تعداد فرونشست بر تعداد فرونشست بر تعداد پیکس‌های کلاس‌های عوامل، نقشه‌های وزنی با هم جمع شده و نقشه نهایی پتانسیل فرونشست تهیه شد (ذیبی و همکاران، ۱۳۹۴).

### ۳-۳-۲- روش نسبت فراوانی (FR)

نسبت فراوانی یک روش آماری دو متغیره است که برای محاسبه رابطه احتمالی بین متغیرهای مستقل و وابسته در نقشه‌های با کلاس‌های متعدد استفاده می‌شود و می‌تواند روابط بین فرونشست‌ها و عوامل مختلف مؤثر در منطقه مورد مطالعه را آشکار نماید (ازدمیر و آلتورال<sup>۱</sup>، ۲۰۱۳). در این پژوهش برای محاسبه نسبت فراوانی هر یک از عوامل مؤثر بر وقوع فرونشست، درصد پیکسل‌های دارای فرونشست و فاقد فرونشست منطقه مورد مطالعه با استفاده از سامانه اطلاعات جغرافیایی تعیین گردید. سپس نسبت فراوانی برای هر یک از عوامل و کلاس مرتبط با آن محاسبه گردید (لی<sup>۲</sup>، ۲۰۰۷؛ محبی تفرشی و همکاران، ۱۳۹۹). محاسبه نسبت فراوانی برای هر یک از کلاس‌های عوامل مؤثر بر وقوع فرونشست بر اساس رابطه (۱۱) است:

$$FR = \frac{A/B}{C/D} \quad (11)$$

که در این رابطه، A: پهنه‌های فرونشست هر کلاس مربوط به هر عامل، B: مساحت کل فرونشست‌ها در منطقه مطالعاتی، C: مساحت هر کلاس مربوط به هر عامل و D: مساحت کل منطقه مورد مطالعه است. به عبارت دیگر، نسبت بین پهنه‌های دارای فرونشست به مساحت کل منطقه، بیان‌گر نسبت فراوانی است. ازین‌رو  $Fr < 1$  نشان‌دهنده همبستگی ضعیف بین فرونشست‌های رخداده و عوامل مؤثر بر وقوع آن و  $Fr > 1$  نشان‌دهنده همبستگی زیاد بین فرونشست‌های رخداده و عوامل مؤثر بر وقوع آن است.  $Fr$  نزدیک به یک نشان می‌دهد که همبستگی معنی‌داری

<sup>1</sup> Ozdemir & Altural

<sup>2</sup> Lee

بین فرونشست‌های رخداده و عوامل مؤثر بر وقوع آن وجود ندارد. به طور کلی، همبستگی مثبت نشان‌دهنده احتمال فرونشست بالاتر و همبستگی منفی نشان‌دهنده احتمال فرونشست پایین‌تر است (صابر چناری، ۱۳۹۶؛ پرادهان و لی<sup>۱</sup>، (۲۰۱۰).

#### ۴-۳-۲- مدل وزنی شاهد (وزن شواهد)

این روش برای مدل‌سازی در یک منطقه برای هر عامل در صورت وجود یا عدم وجود فرونشست در محل، وزنی را محاسبه می‌کند. تعیین وزن برای هر عامل از طریق ترکیب هر کدام از لایه‌های عاملی با نقشه پراکنش فرونشست انجام می‌شود. در این مدل، مقادیر وزنی معمولاً دامنه‌ای بین اعداد مثبت و منفی دارند که بیان‌گر نقش بیشتر و کمتر متغیر در ایجاد فرونشست است. روش وزن‌دهی شواهد بر تئوری بیزین در احتمالات شرطی استوار است (تویید<sup>۲</sup> و همکاران، ۲۰۰۷؛ علیخانی و همکاران، ۱۴۰۰). وزن‌ها در این روش بر اساس وجود یا عدم وجود فرونشست در منطقه مورد مطالعه به صورت رابطه‌های زیر محاسبه شدن:

$$W^+ = \ln\left(\frac{P\left(\frac{F}{S}\right)}{P\left(\frac{F}{S^*}\right)}\right) \quad (11)$$

$$W^- = \ln\left(\frac{P\left(\frac{F^*}{S}\right)}{P\left(\frac{F^*}{S^*}\right)}\right) \quad (12)$$

$$C = W^+ - W^- \quad (13)$$

که در آن  $P$  احتمال،  $F$  حضور یک فاکتور،  $S$  عدم حضور یک فاکتور،  $S^*$  حضور فرونشست و  $F^*$  عدم حضور فرونشست است.  $W^+$  و  $W^-$  به ترتیب بیان‌گر وزن شواهد وقتی یک فاکتور (مثلًا زمین‌شناسی)، حضور و عدم حضور داشته باشد. مقدار  $C$  در واقع کنتراست بین اوزان است. مقدار صفر آن بیان‌گر عدم وجود رابطه بین فاکتور مستقل با فاکتور وابسته (فرونشست) است. مقدار مثبت و بزرگ‌تر، نشان‌دهنده همبستگی مثبت و بیشتر بین فاکتور مربوطه با ظهور یا وقوع فرونشست است. در روش وزن‌دهی شواهد، بعد از محاسبه مقدار  $W^+$  در تمام طبقات فاکتورها، ابتدا مقدار مجموع وزن‌های مثبت برای هر سلول روی نقشه به دست آمده و سپس احتمال نهایی محاسبه شد که مقدار آن بین صفر تا ۱ است. درنهایت با استفاده از نرم‌افزار ArcGIS مدل به کار گرفته و نقشه میزان حساسیت فرونشست استخراج شد (عرفانیان و همکاران، ۱۳۹۵).

<sup>1</sup> Pradhan & Lee

<sup>2</sup> Tweed

### ۳- ارزیابی، کارایی، مدل‌های مورد استفاده

ارزیابی دقت مدل‌ها در دو مرحله آموزش و اعتبارسنجی بر اساس روش منحنی مشخصه عامل گیرنده (ROC) انجام شد. منحنی ROC به صورت نموداری ارائه می‌شود که در آن احتمال تشخیص صحیح نقاط حضور مدل با احتمال تشخیص صحیح نقاط عدم حضور مقایسه می‌شود (فیلیپس<sup>۱</sup> و همکاران، ۲۰۰۶؛ الیت<sup>۲</sup> و همکاران، ۲۰۱۱). سطح زیر نمودار (AUC) به دست آمده به عنوان معیاری از قدرت تفکیک مدل در تشخیص نقاط حضور از عدم حضور مورد توجه قرار می‌گیرد. سطح زیر نمودار (AUC) مدلی با قدرت پیشگویی بسیار کم، ۰/۵ است و مدلی کامل با قدرت پیشگویی بسیار زیاد، دارای AUC به میزان یک خواهد بود (فرامرزی و همکاران، ۱۳۹۹).

٤- نتائج

#### ۴-۱- عوامل مؤثر بر وقوع فرونشست

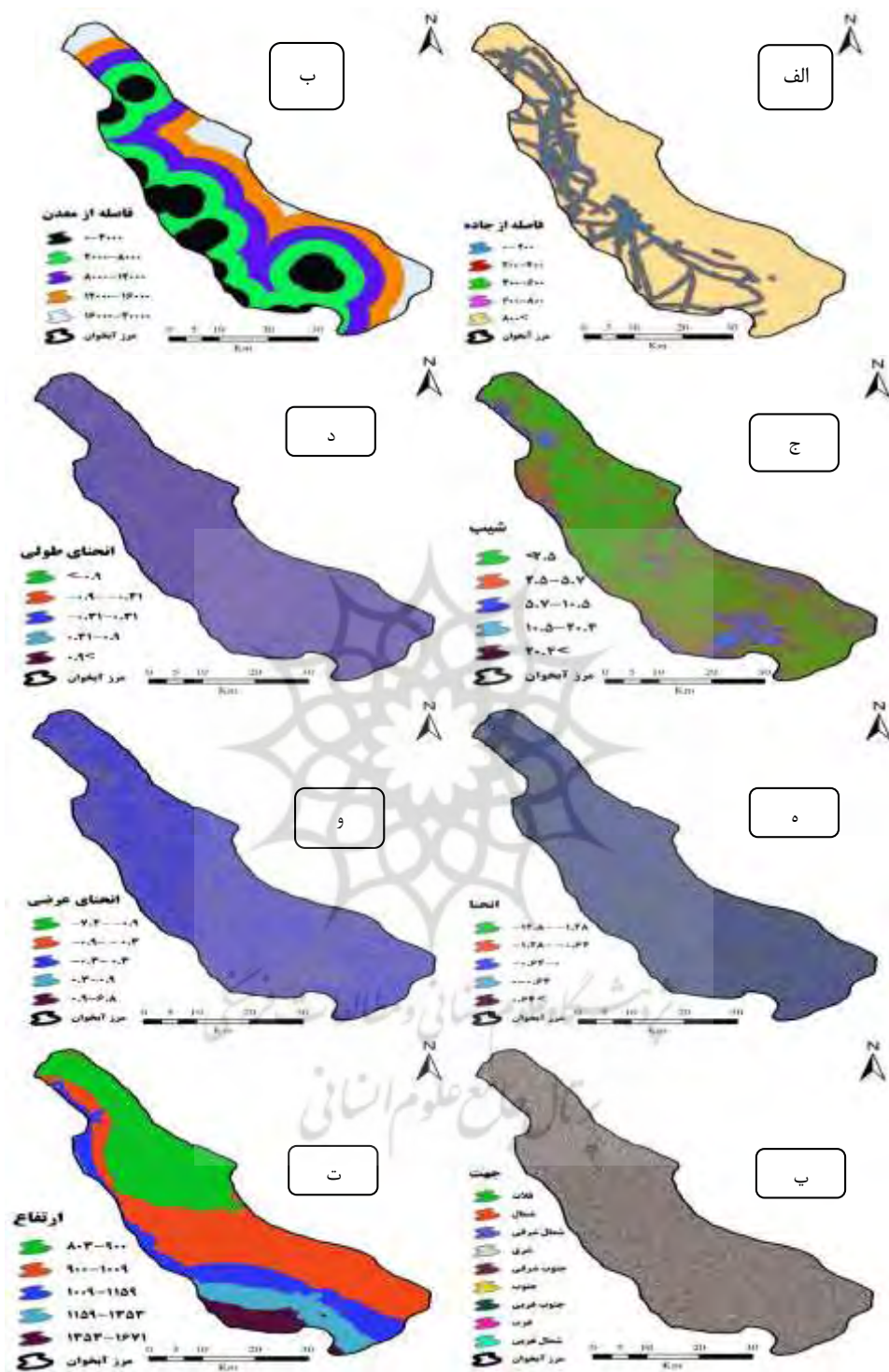
نقشه عوامل مؤثر بر وقوع فرونشست زمین آبخوان دشت کاشان در **شکل ۳** نشان داده شده‌اند. نقشه عامل فاصله از جاده نشان می‌دهد که تغییرات فاصله از جاده بین ۲۰۰ تا بیشتر از ۸۰۰ متر است و جاده‌ها در قسمت‌های شمال غربی، غرب و جنوب غربی آبخوان پراکنش بیشتری دارند (**شکل ۳-الف**). فاصله از معدن نیز بین ۴ تا ۲۰ کیلومتر متغیر است. معدن نیز بیشتر در قسمت‌های شمال غربی، غرب و جنوب غربی آبخوان و نزدیک به جاده‌ها پراکنش دارد (**شکل ۳-ب**). میزان شیب در سطح دشت کمتر از ۲۱ درصد است و پراکندگی طبقات شیب در کل سطح آبخوان مشهود است. همچنین کمی بیش از ۸۶ درصد آبخوان دشت کاشان، شیب کمتر از ۶ درصد دارد (**شکل ۳-ج**). میزان دامنه تغییرات انحنای طولی بین  $0/9$ -الى  $0/9$ ، انحنای عرضی بین  $4/7$ -الى  $8/7$  و انحنای سطح نیز بین  $8/12$ -الى  $4/6$  است و تغییرات نسبی این شاخص‌ها در کل سطح پراکنده است. با توجه به نتایج بدست آمده، بیشتر سطح دشت در دامنه میانی قرار گرفته و درنتیجه، مسطح و بدون انحنا است (**شکل‌های ۳-د، ۳-و، ۳-ه**). دامنه تغییرات ارتفاع در منطقه مطالعاتی بین  $3/80$  الی  $1/16$  متر است و از شمال و شمال غربی منطقه مطالعاتی به سمت جنوب و جنوب غربی ارتفاع از سطح دریا در حال افزایش است. همچنین حدود ۷۰ درصد از وسعت آبخوان دشت کاشان در دامنه ارتفاعی  $0/800$  تا  $1/1000$  متری قرار دارد (**شکل ۳-ت**). همچنین دامنه تغییرات سطح ایستابی در یک دوره ۱۲ ساله بین  $0/12$ - $0/25$  متر است و تغییرات مذکور در جنوب غرب منطقه مطالعاتی بیشتر از سایر مناطق است. بیشترین تغییرات یعنی  $0/25$ - $0/25$  متر نیز در منطقه خزاق است (**شکل ۳-ث**). فاصله از گسل‌های منطقه از  $0/500$  تا  $0/2000$  متر متغیر است و پراکندگی گسل‌ها در شمال غربی، غرب، جنوب غربی و قسمتی از جنوب دشت بیشتر است (**شکل ۳-چ**). تنوع کاربری اراضی و سنگ‌شناسی نیز در منطقه مطالعاتی بالا است، به‌طوری که منطقه

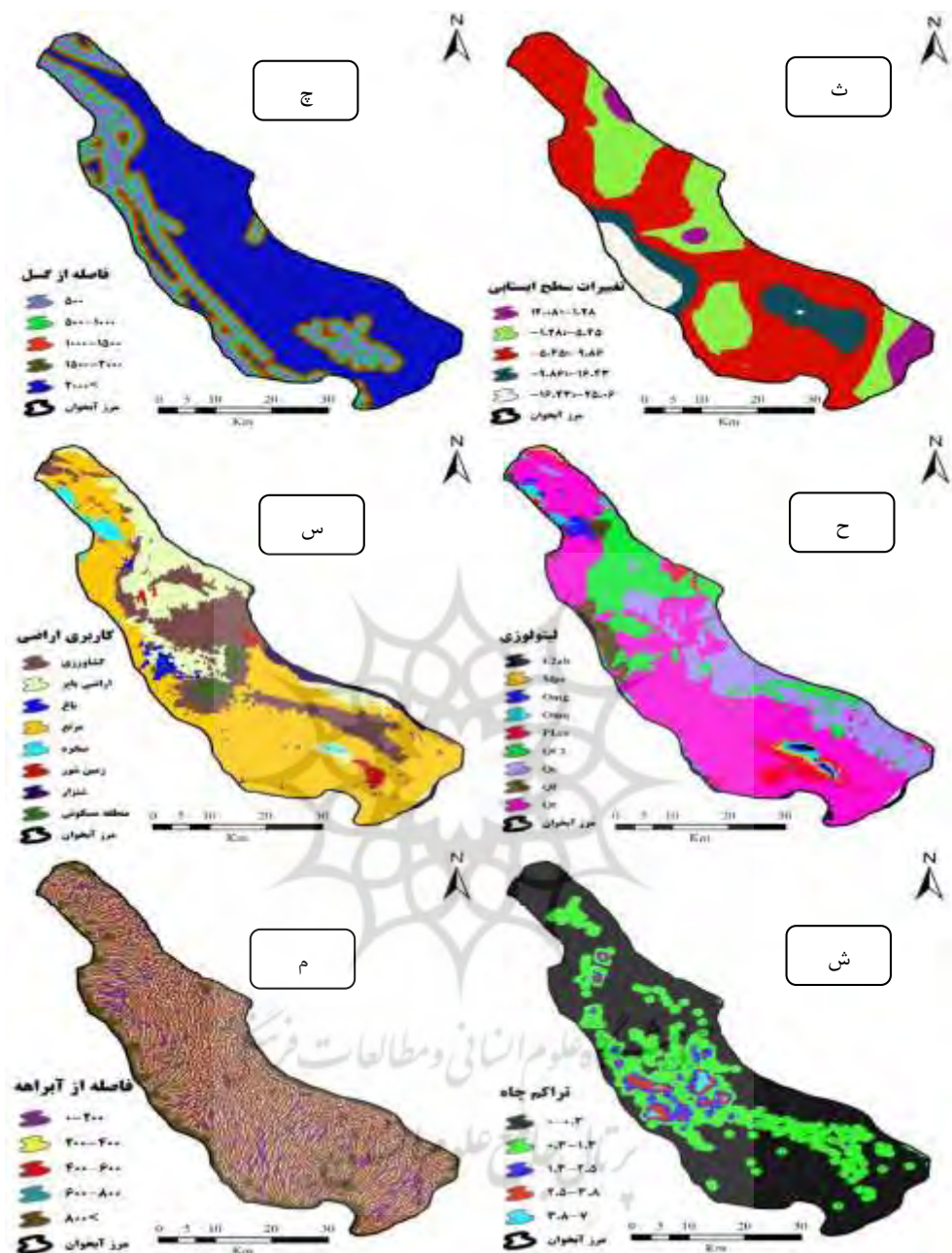
1 Phillips

2 Elith

مطالعاتی دارای ۸ نوع کاربری و ۹ نوع لیتولوژی است. کاربری‌های مرتع، کشاورزی و اراضی بایر، دارای بیشترین سطح کاربری‌ها هستند و در میان آن‌ها نیز، کاربری مرتع بیشترین وسعت منطقه را به میزان ۵۱/۷۲ درصد به خود اختصاص داده است. واحد Qt1 (تراس‌های قدیمی) در بخش لیتولوژی نیز دارای بیشترین وسعت (۵۳/۳۹ درصد) در منطقه مطالعاتی است. سایر یافته‌ها نیز نشان داد که حدود ۸۸ درصد منطقه مطالعاتی مشکل از تراس‌های قدیمی، ورق شن و ماسه و فلات رسی است (شکل‌های ۳-ح و ۳-س). تراکم چاه‌های بهره‌برداری نیز بین ۰/۳ تا ۷ تعداد در کیلومترمربع متغیر است و پراکندگی چاه‌ها در مرکز و جنوب شرقی دشت بیشتر از سایر مناطق است (شکل ۳-ش). فاصله از آبراهه‌ها بین ۲۰۰ تا ۸۰۰ متر متغیر است و الگوی شبکه آبراهه‌ها در منطقه مطالعاتی به صورت شاخه درختی است و دامنه تغییرات پایین نشان از تعدد آبراهه‌ها در سطح دشت است (شکل ۳-م).







### شکل ۳- عوامل مورداستفاده در تعیین مناطق دارای فرونیشت

#### ۴-۲- وزن دهن طبقات عوامل مؤثر با استفاده از مدل های دو متغیره

**جدول ۱**، وزن‌های نهایی محاسبه شده طبقات عوامل مؤثر بر فرونشست زمین بر اساس مدل‌های مورداستفاده در منطقه مطالعاتی را نشان می‌دهد. در این جدول همچنین مساحت هر طبقه بر حسب هکتار و تعداد نقاط دارای فرونشست به تفکیک هر عامل نشان داده شده است. بر اساس نتایج به دست آمده بیشترین تعداد نقاط فرونشست

مشاهداتی مورداستفاده در مرحله آموزش، در جهات جغرافیایی جنوب و شمال غربی، فاصله بیشتر از ۲۰۰۰ متری گسل‌ها، شیب‌های کمتر از ۱۰/۵ درصد و همچنین ارتفاع کمتر از ۱۰۰۰ متری از سطح دریا واقع شده‌اند. همچنین کلیه فرونشست‌های ثبت شده در کاربری‌های اراضی بایر، اراضی کشاورزی، مرتع و تنها یک مورد در منطقه مسکونی مشاهده شده است. بر اساس نتایج انحنای عرضی، انحنای طولی و انحنای ترکیبی، بیشترین میزان پراکنش فرونشست‌ها در مناطق مقرر دشت مشاهده شده است. تغییرات سطح ایستابی نیز نشان می‌دهد که در کلیه طبقات تغییر سطح ایستابی، فرونشست مشاهده شده است. بر اساس نتایج بهدست آمده، فرونشست‌ها بیشتر در مناطق دارای تراکم چاه کمتر رخ داده است. همچنین کلیه فرونشست‌های ثبت شده در واحدهای سنگ‌شناسی QCL، Qe و Qt مشاهده شده است. سایر نتایج این قسمت نشان داد که در فاصله ۲۰۰-۰ و ۴۰۰-۲۰۰ متری از آبراهه‌ها و نیز در فاصله بیشتر از ۸۰۰ متری از جاده‌ها بیشترین فرونشست اتفاق افتاده است. همچنین در کلیه طبقات فاصله از معادن فرونشست رخ داده است.

جدول ۱- وزن‌های نهایی روش‌های دمپستر-شفر، وزن‌دهی شواهد، آنتروپی شانون و نسبت فراوانی

نسبت فراوانی	وزن شواهد	آنتروپی شانون	دمستر-شفر $m(\Theta)$	تعداد نقاط فرونشست	مساحت هر طبقه (هکتار)	طبقات	عامل
FR	C	Wij					جهت
۰/۰۰	۰/۰۱۴	۰/۰۰	۰/۸۹	۰	۲۶۱۵/۳۴	مسطح (فلات)	فاصله از گسل (متر)
۰/۸۶	۰/۲۰	۰/۰۷	۰/۷۸	۸	۲۷۴۴۳/۷۷	شمال	
۰/۸۷	۰/۱۹	۰/۰۷	۰/۷۸	۸	۲۷۱۴۱/۱۴	شمال شرقی	
۰/۳۱	۱/۴۶	۰/۰۳	۰/۸۴	۳	۲۸۴۹۹/۶۷	شرق	
۱/۰۷	-۰/۰۹	۰/۰۹	۰/۷۶	۱۰	۲۷۳۳۳/۴۲	جنوب شرقی	
۱/۵۰	-۰/۵۵	۰/۱۳	۰/۷۱	۱۴	۲۷۴۲۳/۱۳	جنوب	
۱/۱۹	-۰/۲۴	۰/۱۰	۰/۷۵	۱۱	۲۷۰۷۰/۱۱	جنوب غربی	
۰/۹۳	۰/۰۹	۰/۰۸	۰/۷۷	۹	۲۸۳۷۵/۲۴	غرب	
۱/۴۰	-۰/۴۵	۰/۱۲	۰/۷۲	۱۳	۲۷۲۹۵/۷۷	شمال غربی	
۰/۵۴	۰/۰۹۵	۱/۰۲	۰/۶۲	۶	۳۲۷۹۲/۴۸	۵۰۰	شیب (درصد)
۰/۵۲	۰/۰۹۷	۰/۹۸	-۰/۲۸	۴	۲۲۷۲۳/۷۹	۱۰۰۰ - ۵۰۰	
۰/۱۶	۰/۲۶	۰/۳۰	-۰/۳۰	۱	۱۸۵۲۰/۳۸	۱۵۰۰ - ۱۰۰۰	
۱/۱۰	-۰/۰۱۵	۲/۱۰	-۰/۲۰	۶	۱۵۹۵۰/۸۷	۲۰۰۰ - ۱۵۰۰	
۱/۳۰	-۰/۱۱۶	۲/۱۰	۰/۳۳	۵۹	۱۳۳۲۳۹/۶۸	>۲۰۰۰	
۱/۱۹	-۱/۵۷	۱/۹۹	۰/۴۵	۴۵	۱۱۱۳۶۱/۲۷	<۲/۵	
۰/۷۹	۱/۴۲	۱/۳۳	۰/۵۲	۲۲	۸۱۳۰۹/۰۵	۵/۷ - ۲/۵	
۱/۱۲	-۰/۵۵	۱/۸۸	۰/۴۴	۹	۲۳۵۳۰/۰۸	۱۰/۵ - ۵/۷	

نسبت فراوانی	وزن شواهد	آنتروپی شانون	دپستر- شفر	تعداد نقاط فرونشست	مساحت هر طبقه (هکتار)	طبقات	عامل
FR	C	Wij	m(θ)				
۰/۰۰	۰/۱۲	۰/۰۰	۰/۷۹	۰	۶۰۷۴/۲۷	۲۰/۴-۱۰/۵	ارتفاع (متر)
۰/۰۰	۰/۰۲	۰/۰۰	۰/۸۰	۰	۹۵۲/۸۳	>۲۰/۴	
۲/۱۰	-۱/۵۶	۵/۶۹	۰/۲۰	۴۷	۶۵۶۴۱/۳	۹۰۰-۸۰۳	
۰/۹۶	۰/۰۹	۲/۵۹	۰/۴۸	۲۹	۸۹۱۶۰/۷	۱۰۰۹-۹۰۰	
۰/۰۰	۰/۲۰	۰/۰۰	۰/۷۶	۰	۳۴۸۵۰/۳	۱۱۵۹-۱۰۰۹	
۰/۰۰	۰/۱۲	۰/۰۰	۰/۷۷	۰	۲۲۰۸۶۷۲	۱۳۵۳-۱۱۵۹	
۰/۰۰	۰/۰۶	۰/۰۰	۰/۷۹	۰	۱۱۴۸۹	۱۶۷۱-۱۳۵۳	
۱/۰۶	-۰/۱۷	۱/۰۹	۰/۷۹	۱۸	۴۹۷۹۳/۴۱	کشاورزی	
۳/۵۴	-۰/۱۶	۵/۳۳	۰/۲۹	۴۷	۳۸۹۱۴/۴۴	اراضی فاقد پوشش	
۰/۰۰	۰/۰۰۳	۰/۰۰	۰/۸۸	۰	۳۲۸۵/۳۰	باغ	
۰/۲۶	۰/۱۳	۰/۳۸	۰/۷۴	۱۰	۱۱۵۴۵۱/۱۲	مرتع	کاربری اراضی
۰/۰۰	۰/۰۰۴	۰/۰۰	۰/۸۸	۰	۴۲۰۳/۷۳	صخره	
۰/۰۰	-۰/۰۲	۰/۰۰	۰/۸۸	۰	۳۱۲۵/۳۸	زمین‌های شور	
۰/۰۰	-۰/۱۰	۰/۰۰	۰/۸۸	۰	۳۳۱۶/۵۰	ماسه‌زار (شن‌زار)	
۰/۵۷	۰/۰۰۲	۷/۳۱	۰/۷۷	۱	۵۱۳۷/۶۱	منطقه مسکونی	
۱۵/۵۵	-۰/۲۷	۲۰/۶۶	۰/۰۳	۲۲	۴۱۵۵/۷۸	-۰/۹-۷/۴	
۲/۵۲	-۰/۸۱	۳/۳۵	۰/۷۵	۳۷	۴۳۰۶۲/۸۰	-۰/۳-۰/۹	
۰/۳۴	۰/۷۴	۰/۴۶	۰/۶۴	۱۵	۱۲۸۴۸۰/۱۳	۰/۳-۰/۳	انحنای عرضی
۰/۱۴	۱/۰۶	۰/۱۸	۰/۷۷	۲	۴۳۱۸۹/۲۷	۰/۹-۰/۳	
۰/۰۰	-۰/۰۴	۰/۰۰	۰/۸۱	۰	۴۳۳۹/۵۲	۶/۸-۰/۹	
۱۶/۸۱	۱/۶۵	۲۱/۰۶	-۰/۰۳	۲۰	۳۴۹۴/۴۷	<-۰/۰۹	
۱/۵۶	۰/۵۴	۲/۰۱	۰/۷۷	۳۳	۶۲۰۰۲/۸۰	-۰/۳۱-۰/۰۹	
۰/۷۰	-۰/۰۰۴	۰/۹۰	۰/۷۳	۲۲	۹۱۶۵۷/۴۷	۰/۳۱-۰/۳۱	انحنای طولی
۰/۰۵	-۱/۶۰	۰/۰۶	۰/۷۳	۱	۶۲۵۱۴/۰۶	۰/۹-۰/۳۱	
۰/۰۰	۰/۰۰	۰/۰۰	۰/۸۰	۰	۳۵۵۸/۷۰	>۰/۹	
۱/۲۴	-۰/۷۱	۲/۴۶	۰/۵۶	۱۵	۳۵۰۲/۱۶	-۱/۲۸-۱۲/۸	
۱/۰۶	-۰/۱۹	۲/۱۰	۰/۵۹	۱۵	۴۱۶۰۲/۰۸	-۰/۳۶-۱/۲۸	
۰/۹۸	۰/۰۹	۱/۹۴	۰/۶۱	۲۳	۶۹۱۰۲/۸۰	۰-۰/۳۶	انحنای کلی دامنه
۰/۶۴	۱/۴۶	۱/۲۶	۰/۶۶	۹	۴۱۶۴۹/۳۸	۰/۶۴-۰	
۱/۱۶	-۰/۴۹	۲/۳۱	۰/۵۸	۱۴	۳۵۳۷۱/۰۸	>۰/۹۴	
۰/۸۸	۰/۰۵	۱/۶۷	۰/۴۶	۳	۱۰۰۱۵/۲۷	-۱/۲۸-۱۲/۰۸	
۱/۷۶	-۰/۳۰	۳/۳۳	۰/۸۰	۳۵	۵۸۴۸۱/۰۲	-۵/۴۵-۱/۲۸	تغییرات سطح ایستابی (متر)

نسبت فراوانی	وزن شواهد	آنتروبی شانون	- دمپستر- شفر	تعداد نقاط فرونشست	مساحت هر طبقه (هکتار)	طبقات	عامل
FR	C	Wij	m(θ)				
۰/۸۰	۰/۱۴	۱/۵۲	۰/۷۵	۳۲	۱۱۷۴۷۴/۹۱	-۹/۸۶ -۵/۴۵	تراکم چاه (تعداد در کیلومترمربع)
۰/۵۹	۰/۲۰	۱/۱۱	۰/۷۹	۵	۲۵۰۵۸/۴۱	-۱۶۴۳ -۹/۸۶	
۰/۲۴	۰/۵۰	۰/۴۶	۰/۱۹	۱	۱۲۱۹۷/۸۹	-۲۵/۰۶ -۱۶۴۳	
۰/۸۹	۱/۰۹	۱/۶۵	۰/۵۴	۴۴	۱۴۴۳۴۸/۸۷	۰/۳ -۰	
۱/۲۹	-۱/۳۴	۲/۳۸	۰/۵۰	۲۸	۶۴۸۱۹/۴۰	۱/۳ -۰/۳	
۰/۹۹	۰/۰۳	۱/۸۴	۰/۵۵	۳	۸۸۵۹/۳۰	۲/۵ -۱/۳	
۰/۷۷	۰/۹۵	۱/۴۳	۰/۶۱	۱	۳۸۰۱/۴۳	۳/۸ -۲/۵	
۰/۰۰	۰/۰۲	۰/۰۰	۰/۸۰	۰	۱۳۹۸/۵۰	۷ -۳/۸	
۰/۰۰	۰/۰۰۳	۰/۰۰	۰/۸۹	۰	۱۸۱۳/۰۴	E2ab	
۰/۰۰	۰/۰۰۴	۰/۰۰	۰/۸۹	۰	۲۲۵۰/۶۸	Mpc	
۰/۰۰	۰/۰۰۵	۰/۰۰	۰/۸۹	۰	۳۲۰۶/۴۰	Omg	لیتوژوژی (سنگشناسی)
۰/۰۰	۰/۰۰۶	۰/۰۰	۰/۸۹	۰	۳۶۷۲/۹۷	Omq	
۰/۰۰	۰/۰۱۶	۰/۰۰	۰/۸۹	۰	۹۳۶۷/۵۳	PLcs	
۳/۵۰	-۰/۷۱	۴/۷۶	۰/۲۹	۴۴	۳۶۸۹۰/۹۸	QCL	
۱/۵۳	-۰/۲۰	۲/۰۸	۰/۶۲	۲۱	۴۰۲۳۰/۰۹	Qe	
۰/۰۰	۰/۰۱	۰/۰۰	۰/۸۹	۰	۶۶۰۹/۱۲	Qf	
۰/۲۷	۰/۷۰	۰/۳۷	۰/۷۵	۱۱	۱۱۹۱۸۷/۷۹	Qt	
۱/۰۶	-۰/۱۷	۱/۹۶	۰/۵۱	۳۳	۹۱۵۱۹/۱۲	۲۰۰ -۰	فاصله از آبراهه (متر)
۱/۱۲	-۰/۲۸	۲/۰۸	۰/۵۶	۲۴	۶۲۷۵۲/۴۰	۴۰۰ -۲۰۰	
۱/۳۰	-۰/۵۶	۲/۴۱	۰/۵۰	۱۵	۳۳۸۷۰/۴۲	۶۰۰ -۴۰۰	
۰/۷۴	۰/۵۵	۱/۳۶	۰/۶۳	۴	۱۵۹۳۷۷/۷۷	۸۰۰ -۶۰۰	
۰/۰۰	۰/۱۵	۰/۰۰	۰/۸۰	۰	۱۹۱۴۸/۸۰	>۸۰۰	
۱/۰۸	-۰/۱۲	۲/۱۲	۰/۶۳	۹	۲۴۴۳۱/۴۷	۲۰۰ -۰	فاصله از جاده (متر)
۱/۷۳	-۰/۸۱	۳/۳۹	۰/۵۳	۱۲	۲۰۳۵۸/۰۶	۴۰۰ -۲۰۰	
۱/۶۴	-۰/۷۱	۳/۲۲	۰/۵۴	۹	۱۶۰۷۸/۷۷	۶۰۰ -۴۰۰	
۰/۶۷	۰/۰۵	۱/۳۱	۰/۶۹	۳	۱۳۲۰۰/۰۵	۸۰۰ -۶۰۰	
۰/۸۵	۰/۰۶	۱/۶۶	۰/۶۱	۴۳	۱۴۹۱۶۱/۱۴	>۸۰۰	
۰/۲۱	۰/۱۶	۰/۴۰	۰/۶۴	۳	۴۱۰۱۸/۷۰	۴۰۰۰ -۰	فاصله از معدن (متر)
۱/۸۶	-۰/۱۰	۳/۴۵	۰/۱۸	۴۳	۶۸۰۱۶۷/۷۶	۸۰۰۰ -۴۰۰۰	
۰/۷۵	۰/۰۵	۱/۲۰	۰/۷۴	۱۲	۵۴۴۵۷/۰۵	۱۲۰۰۰ -۸۰۰۰	
۰/۵۲	۰/۰۷	۰/۹۸	۰/۷۶	۷	۳۹۱۸۷/۰۹	۱۶۰۰۰ -۱۲۰۰۰	
۱/۰۷	۰/۰۰	۲/۹۲	۰/۶۷	۱۱	۲۰۵۶۷/۹۰	۲۰۰۰۰ -۱۶۰۰۰	

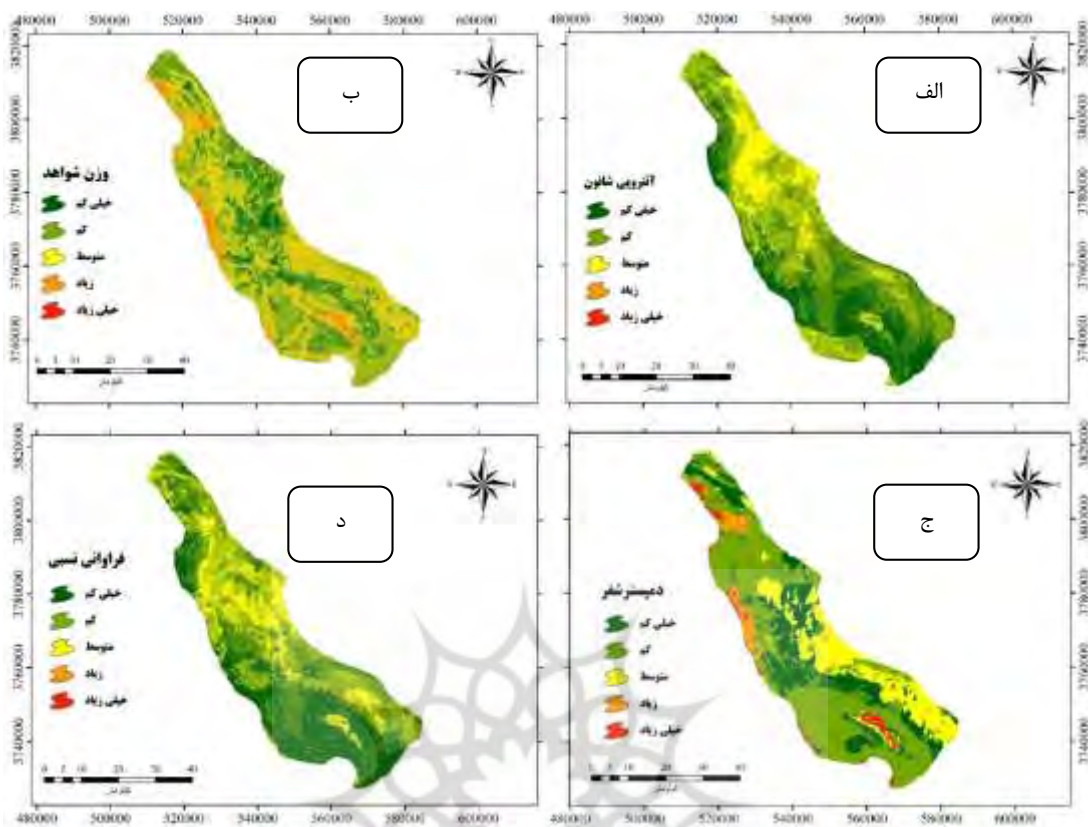
### ۴-۳- نقشه‌های حساسیت فرونشست حاصل از مدل‌های مختلف

نقشه حساسیت‌پذیری فرونشست منطقه مطالعاتی بر اساس مدل‌های فوق الذکر در [شکل ۴](#) نشان داده شده است. در روش آنتروبی شانون، کلاس با حساسیت‌پذیری زیاد و خیلی زیاد در مناطق شمال و شمال شرق دشت متمرکز هستند ([شکل ۴-الف](#)). بر اساس نقشه حاصل از روش وزن شواهد، کلاس‌های حساسیت‌پذیری زیاد و خیلی زیاد بیشتر در شمال غربی، غرب و جنوب شرقی دشت متمرکز هستند ([شکل ۴-ب](#)). همچنین نقشه حساسیت‌پذیری روش دمپستر-شفر نشان داد که بخش بسیار کمی از وسعت منطقه مطالعاتی دارای کلاس حساسیت‌پذیری زیاد و خیلی زیاد در شمال غربی، غرب و بخشی از جنوب و جنوب شرق دشت است ([شکل ۴-ج](#)). بر اساس روش نسبت فراوانی، کلاس‌های با حساسیت‌پذیری زیاد و خیلی زیاد در شمال شرقی و شرق منطقه مطالعاتی متمرکز هستند ([شکل ۴-د](#)).

**جدول ۲** نیز مساحت (هکتار) و درصد هر یک از طبقات نقشه حساسیت‌پذیری فرونشست (بر اساس مرز نهایی در نظر گرفته شده) را به تفکیک چهار روش مورداستفاده نشان می‌دهد. بر اساس نتایج به دست آمده، طبقه با خطر خیلی زیاد در همه روش‌ها میزان مساحت را به خود اختصاص داده است و دوطبقه خطر کم و متوسط بیشترین میزان مساحت را دارند.

جدول ۲- مساحت و درصد هر کدام از طبقات نقشه‌های حساسیت‌پذیری فرونشست با استفاده از مدل‌های مورد

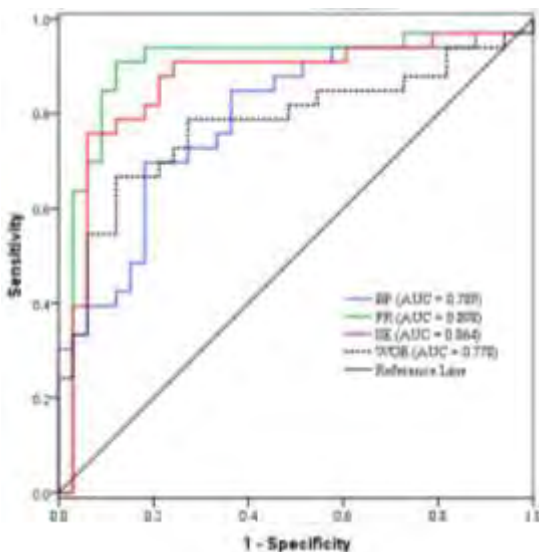
خیلی زیاد		زیاد		متوسط		کم		خیلی کم		روش
درصد	مساحت	درصد	مساحت	درصد	مساحت	درصد	مساحت	درصد	مساحت	
۷/۹۴	۱۵۳۹۸۷۳	۲۱/۵۴	۴۷۷۶۲/۲	۳۱/۹۹	۷۰۹۴۸/۷	۲۷/۹۹	۶۲۰۶۵/۶	۱۱/۵۴	۲۵۵۸۷/۶	وزن شواهد
۲/۸	۶۱۰۴/۷	۱۳/۶	۳۰۱۵۲/۳	۲۹/۲	۶۴۶۸۱/۲	۳۲/۹	۷۲۹۶۱/۵	۲۱/۶	۴۷۸۶۳/۷	آنتروبی شانون
۲/۶	۵۷۷/۸	۴/۳	۹۴۶۷/۱	۱۹/۱	۴۲۲۶/۱	۵۰/۲	۱۱۱۲۳۶/۹	۲۳/۹	۵۳۰۵۳/۵	دمپستر-شفر
۲/۹	۶۵۱۲/۳	۱۳/۳	۲۹۴۲۴/۹	۲۷/۵	۶۱۰۰۳/۴	۲۹	۶۴۳۴۰/۵	۲۷/۳	۶۰۴۸۲/۳	فراوانی نسبی



شکل ۴- نقشه‌های حساسیت پذیری فرونشتست زمین در سطح دشت کاشان

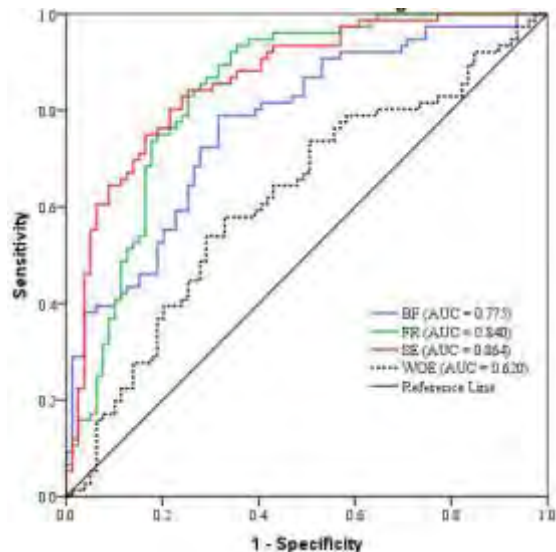
#### ۴-۴- ارزیابی مدل‌ها

در این مطالعه، ارزیابی نقشه‌های حاصل از مدل‌های مختلف با استفاده از روش منحنی ROC برای مجموعه داده‌های مشاهداتی در دو مرحله مدل‌سازی و اعتبارسنجی انجام شد. [شکل‌های ۵](#) و [۶](#)، منحنی‌های ROC و مقادیر شاخص AUC را برای مدل‌های مورداستفاده در بخش آموزش و اعتبارسنجی مدل نشان می‌دهد. بر اساس [شکل ۵](#) در مرحله آموزش، مدل آنتروپی شالون با میزان AUC برابر با  $0.864$  بهترین عملکرد و مدل وزن‌دهی شواهد با مقدار AUC برابر با  $0.620$  پایین‌ترین کارایی را نسبت به سایر روش‌ها داشته‌اند. دو مدل نسبت فراوانی و تابع باور شهودی (دیپستر-شفر) به ترتیب با مقادیر AUC برابر با  $0.840$  و  $0.775$  در اولویت‌های دوم و سوم قرار داشتند. نتایج حاصل از ارزیابی نقشه‌های حاصل از مدل‌ها بر اساس داده‌های اعتبارسنجی در [شکل ۶](#) نیز حاکی از آن بود که روش نسبت فراوانی با مقدار AUC برابر با  $0.898$  دقت بالاتری نسبت به سایر روش‌ها داشته است. پس از آن، مدل‌های آنتروپی شالون ( $AUC = 0.864$ ), تابع باور شهودی ( $AUC = 0.789$ ) و وزن‌دهی شواهد ( $AUC = 0.778$ ) در رددهای بعدی از نظر کارایی قرار گرفتند.



شکل ۶- مقادیر AUC در بخش اعتبارسنجی مدل‌های

موردادستفاده



شکل ۵- مقادیر AUC در بخش آموزش مدل‌های

موردادستفاده

## ۵- بحث و نتیجه‌گیری

فرونشست می‌تواند در اثر پدیده‌های طبیعی مانند انحلال، تراکم نهشته‌ها و حرکات آرام پورسته و یا فعالیت‌های انسانی نظیر معدنکاری و برداشت آب‌های زیرزمینی ایجاد شود. در دهه‌های اخیر، فرونشست زمین همراه با صنعتی شدن، شهرنشینی و پمپاز بی‌رویه از آب‌های زیرزمینی برای مصارف کشاورزی مشاهده شده است. در هنگام افت سطح آب زیرزمینی، زهکشی آب سبب کاهش فشار هیدرولاستاتیکی در لایه رس و تحکیم و فشردگی این لایه‌ها و نشست زمین می‌شود. نتایج این پژوهش نشان داد که بیشترین میزان فرونشست زمین در جهات جغرافیایی جنوب و شمال غربی واقع شده‌اند. در سایر جهات جغرافیایی نیز فرونشست در سطح منطقه مطالعاتی مشاهده شده است که اهمیت پایین جهت را در حساسیت فرونشست نشان می‌دهد. [اختاری و همکاران \(۱۳۹۸\)](#) و [محمدی و همکاران \(۲۰۱۹\)](#) نیز به اهمیت پایین جهت جغرافیایی و تأثیر آن بر فرونشست اشاره کرده‌اند. بر اساس نقشه فاصله از گسل‌ها، بیشترین میزان فرونشست‌ها در فاصله بیش از ۲۰۰۰ متری واقع شده‌اند که نشان‌دهنده تأثیر پایین این لایه بر روی وقوع فرونشست در آبخوان داشت کاشان است. [نادری و همکاران \(۱۳۹۷\)](#) طی تحقیقی در سلماس نیز به اهمیت پایین گسل بر روی فرونشست اشاره کرده‌اند. این در حالی است که [اختاری و همکاران \(۱۳۹۸\)](#) در تسوج، محمدی و همکاران در دشت سمنان ([۲۰۱۹](#)) و [تینبویی و همکاران \(۲۰۱۸\)](#) در کره جنوبی به اثرات تشدیدکننده گسل روی فرونشست اذعان کرده‌اند. بر اساس نقشه شیب دشت کاشان، تعداد ۶۷ فرونشست در شیب کمتر از ۵/۷ درصد واقع شده‌اند. این موضوع نشان‌دهنده این است که در شیب‌های پایین‌تر، خطر وقوع فرونشست بیشتر است.

که مختاری و همکاران (۱۳۹۸) و محمدی و همکاران (۲۰۱۹) نیز به این مورد اشاره کرده‌اند. دلیل این امر می‌تواند این باشد که در شیب‌های پایین، امکان تشکیل آبخوان بیشتر است و لذا بر اثر برداشت آب در این مناطق، احتمال وقوع فرونشست بیشتر است. لازم به ذکر است که تین‌بویی و همکاران (۲۰۱۸) و رحمتی و همکاران (۲۰۱۹a) به اهمیت پایین‌تر شیب نسبت به سایر شاخص‌ها اشاره کرده‌اند. نتایج نشان داد که تعداد ۷۶ مورد فرونشست در ارتفاع بین ۸۰۰ الی ۱۰۰۰ متر واقع شده‌اند و در ارتفاعات بالاتر، میزان وقوع فرونشست صفر بوده است که در تحقیقات محمدی و همکاران (۲۰۱۹)، اهمیت این شاخص و اثرگذاری آن بر فرونشست بیان شده است. لایه کاربری اراضی نشان داد که تعداد ۶۵ مورد از فرونشست‌ها در اراضی بایر و کشاورزی واقع شده‌اند و این مورد نشان دهنده حساسیت این دو کاربری بر میزان وقوع فرونشست است که نادری و همکاران (۱۳۹۷)، تین‌بویی و همکاران (۲۰۱۸) و محمدی و همکاران (۲۰۱۹) به این مهم اشاره کرده‌اند. یکی از علل این موضوع، برداشت منابع آب زیرزمینی در مناطق کشاورزی برای زراعت است که در پژوهش قره‌چلو و همکاران (۱۴۰۰) به آن تأکید شده است. نتایج نشان داد که وقوع فرونشست در مناطقی رخ داده است که انحنای عرضی، طولی و انحنای ترکیبی دارای مقدار پایین‌تری بودند و این شاخص‌ها اثر معناداری روی فرونشست نداشته‌اند که محمدی و همکاران (۲۰۱۹) نیز به اهمیت پایین این شاخص‌ها اشاره کرده‌اند. بر اساس نقشه میزان تغییرات سطح ایستابی، تعداد فرونشست‌ها در مناطقی که میزان این تغییرات بین ۱ الی ۱۰ متر (کاهشی) بوده، بیشترین مقدار بوده است. افت ۱۰ متری آب زیرزمینی همراه با تراکم چاه‌ها در مرکز، شمال شرق و جنوب شرق داشت باعث فرونشست بیشتر در این مناطق شده است. تغییرات سطح آب زیرزمینی یک از مهم‌ترین شاخص‌های تأثیرگذار بر فرونشست منطقه مطالعاتی است که اهمیت این لایه در تحقیقات مختاری و همکاران (۱۳۹۸)، جانباز فوتی و همکاران (۱۳۹۹)، قربان‌زاده و همکاران (۲۰۱۸)، محمدی و همکاران (۲۰۱۹)، تین‌بویی و همکاران (۲۰۱۸)، رحمتی و همکاران (۲۰۱۹a) و همکاران (۲۰۲۲) و نگویان<sup>۱</sup> و همکاران (۲۰۲۲) نیز تأیید شده است. بر اساس نقشه تراکم چاه‌ها، تعداد وقوع فرونشست بیشتر در مناطقی رخ داده است که تراکم چاه کمتر از  $1/3$  کیلومتر در کیلومتر مربع بوده است که این نتیجه بر خلاف انتظار بوده است. یکی از دلایل این امر می‌تواند برداشت آب بیشتر از چاه‌هایی که در مناطق با تراکم کمتر چاه قرار گرفته‌اند، باشد. فرونشست‌های واقع در لایه لیتولوژی نشان داد که کل فرونشست‌های موجود در سطح آبخوان داشت در مناطق فلات رسی، ورقه‌های شن و ماسه و تراس‌های قدیمی مشاهده می‌شوند. این نتایج نشان دهنده اثرات واحدهای مختلف لیتولوژی و اهمیت این شاخص در بحث فرونشست زمین است که در راستای تحقیقات رحمتی و همکاران (۲۰۱۹a) و تین‌بویی و همکاران (۲۰۱۸) به عنوان یک شاخص مهم و تأثیرگذار است. بر اساس لایه فاصله از آبراهه‌ها، تعداد ۶۵ فرونشست در فاصله ۰ تا ۶۰۰ متر مشاهده شد. در فواصل مختلف آبراهه،

1 Kumar

2 Nguyen

فرونشستهای مشاهده شده است که نشان از اهمیت پایین این شاخص و تأثیرگذاری کم آن روی فرونشست است که با تحقیقات [مختراری و همکاران \(۱۳۹۸\)](#) و [رحمتی و همکاران \(۲۰۱۹\)](#) در یک راستاست. لایه فاصله از جاده‌ها نشان داد که بیشترین میزان وقوع فرونشست در فاصله بیشتر از ۸۰۰ متر رخ داده است و نشان‌دهنده اهمیت پایین این شاخص بر روی فرونشست زمین است که در تحقیقات [محمدی و همکاران \(۲۰۱۹\)](#) به آن تأکید شده است. لایه فاصله از معادن نشان داد که بیشترین میزان وقوع فرونشست در فاصله بین ۴۰۰۰ الی ۸۰۰۰ متر رخ داده است. لازم به ذکر است که در همه فاصله‌ها از معادن موجود، فرونشستهایی مشاهده شده است که نشان‌دهنده اثر پایین این شاخص در دشت کاشان است.

همچنین نتایج حاصل از ارزیابی نقشه‌های حاصل از مدل‌های دومتغیره بر اساس داده‌های اعتبارسنجی در منطقه مطالعاتی نشان داد که روش نسبت فراوانی با مقدار AUC برابر با ۰/۸۹۸ دقت بالاتری نسبت به سایر روش‌ها داشته است. پس از آن، مدل‌های آنتروپی شانون، تابع باور شهودی و وزن‌دهی شواهد در رده‌های بعدی از نظر کارایی قرار گرفتند. لازم به ذکر است که در تحقیقات [پرادهان و ابوخاریما \(۲۰۱۴\)](#)، مدل تابع باور شهودی نسبت به مدل نسبت فراوانی نتایج بهتری را ارائه کرده است.

سایر یافته‌ها نشان داد که مقادیر کارایی مدل‌های دومتغیره در مرحله آموزش مدل بیشتر از مرحله اعتبارسنجی است. برای تهیه نقشه‌های حساسیت‌پذیری، نقاط فرونشست به دو دسته آموزش یا ساخت مدل و همچنین اعتبارسنجی تقسیم می‌شوند. در مرحله آموزش، نقشه حساسیت‌پذیری تهیه شده بر اساس حضور نقاط فرونشست در طبقات عوامل به دست می‌آید، اما نقاط فرونشست مشاهداتی در مرحله اعتبارسنجی بدون هیچ دخل و تصریفی با نقشه نهایی حساسیت‌پذیری قطع داده می‌شوند. لذا این امر قابل انتظار است که دقت در مرحله آموزش بالاتر از مرحله اعتبارسنجی باشد.

نتایج حاصل از این تحقیق می‌تواند به عنوان یک راهنمای مناسب برای برنامه‌ریزان و مدیران در طرح‌ریزی و اجرای برنامه‌های مختلف برای کاهش خطرات مرتبط با وقوع خطر فرونشست زمین استفاده شود.

#### کتابنامه

اکبری، محمود؛ ۱۴۰۰. پایش فرونشست زمین تحت تأثیر عوامل زمین‌شناسی و منابع آب با روش تداخل سنجی تفاضلی راداری (مطالعه موردی: شهر اراک). نشریه حفاظت منابع آب و خاک. دوره ۱۰. شماره ۳. ۱۱۵-۱۳۱.  
DOI: 20.1001.1.22517480.1400.10.3.8.7

تیموری، مهدی.، اسدی نیلوان، امید..، ۱۳۹۸. پهنگ‌بندی حساسیت و اولویت‌بندی عوامل مؤثر بر وقوع زمین‌لغزش با استفاده از مدل حداقل آنتروپی (مطالعه موردی: استان لرستان). نشریه هیدرولوژی‌مورفولوژی. دوره ۶. شماره ۲۱. ۲۱-۱۵۵.  
DOI: 20.1001.1.23833254.1398.6.21.8.3. ۱۷۹-۱۵۵

جانباز فوتی، مهدیه، خلقی، مجید..، عبده کلاهچی، عبدالنبی، رostایی، مهآسا؛ ۱۳۹۹. بررسی فرونشست زمین ناشی از تغییرات سطح ایستابی آب زیرزمینی با استفاده از روش تداخل‌سننجی تفاضلی راداری: مطالعه موردی استان قزوین. *نشریه تحقیقات منابع آب ایران*. دوره ۱۶. شماره ۳. ۱۳۳-۱۴۷.

DOI: 20.1001.1.17352347.1399.16.3.10.8

ذیبحی، محسن، پورقاسمی، حمیدرضا، بهزادفر، مرتضی. ۱۳۹۴. تهیه نقشه پتانسیل آب زیرزمینی با استفاده از مدل‌های آنتروپی شانون و جنگل تصادفی در دشت بجنورد. *نشریه اکوهویارلوژی*. دوره ۲. شماره ۲-۲۲۱. ۲۳۲.

DOI: 10.22059/ije.2015.56242

رضوی ترمه، سیدوحید؛ شیرانی، کوروش؛ ۱۳۹۷. پهنه‌بندی خطر وقوع زمین‌لغزش با استفاده از روش‌های نسبت فراوانی، آنتروپی و روش تصمیم‌گیری تاپسیس (مطالعه موردی: حوزه فهلیان، فارس). *نشریه سنجش از دور و سامانه اطلاعات جغرافیایی در منابع طبیعی*. سال ۹. شماره ۴. ۱۱۹-۱۳۸.

[https://girs.bushehr.iau.ir/article\\_663411.html](https://girs.bushehr.iau.ir/article_663411.html)

رنجر، محسن؛ جعفری، نسرین؛ ۱۳۸۸. بررسی عوامل مؤثر در فرونشست زمین دشت اشتهارد. *فصلنامه علمی جغرافیا*. دوره ۶. شماره ۱۸ و ۱۹. ۱۵۶-۱۶۶.

[https://mag.iga.ir/article\\_253531.html](https://mag.iga.ir/article_253531.html)  
صابرچناری، کاظم، بهرمند، عبدالرضا، بردى شيخ، واحد. ۱۳۹۶. پهنه‌بندی خطر پتانسیل وقوع فرسایش خنده‌قی با استفاده از روش‌های آماری (دمستر-شفر، رگرسیونی، نسبت فراوانی و فاکتور خطر) در حوزه آبخیز قرنابوه استان گلستان. رساله دکتری تخصصی (ph.D). دانشگاه علوم کشاورزی و منابع طبیعی گرگان. گرگان.

<https://ganj.irandoc.ac.ir/#/articles/84f0a8feb4d54cc1ff0f4f7332ca73af>

عرفانیان، مهدی؛ فرج‌الهی، هانا؛ سوری، مهشید؛ شیرزادی، عطاالله؛ ۱۳۹۵. مقایسه کارایی روش‌های وزن‌دهی شواهد، رگرسیون لجستیک و نسبت فراوانی در تهیه نقشه پتانسیل چشمۀ آب زیرزمینی در حوزه آبخیز چهل‌گزی، استان کردستان. *نشریه علوم آب و خاک*. جلد ۲۰. شماره ۷۵. ۵۹-۷۲.

DOI: 10.18869/acadpub.jstnar.20.75.59

علیخانی، حمید، شهابی، هیمن، محمدی، ایوب؛ ۱۴۰۰. شناسایی و پهنه‌بندی زمین‌لغزش‌های جاده کوه‌هستانی سندج-مریوان با استفاده از داده‌های راداری و الگوریتم‌های پیشرفته داده‌کاوی. پایان‌نامه کارشناسی ارشد. دانشگاه کردستان.

<https://ganj.irandoc.ac.ir/#/articles/d98bbfa2068df583c65a9356461b0ed8>

فرامرزی، حسن، حسینی، سیدحسن، پورقاسمی، حمیدرضا، فرنقی، مهدی. ۱۳۹۹. ارزیابی مخاطرات محیطی پارک ملی گلستان با استفاده از مدل‌های عامل مبنای و تکنیک‌های یادگیری ماشین. رساله دکتری تخصصی (D). دانشگاه تربیت مدرس.

<https://ganj.irandoc.ac.ir/#/articles/9a0a14ef1b472a2371e48267b3c99dc8>

قاضی‌فرد، اکبر؛ مصلحی، علی؛ صفائی، همایون؛ ۱۳۹۰. بررسی علل ایجاد فرونشست زمین در دشت کاشان و ارائه راه‌کارهای مناسب جهت جلوگیری از آن. طرح پژوهشی دانشگاه اصفهان. کارفرما: شرکت سهامی آب منطقه‌ای اصفهان. ۲۸۳ ص.

<https://civilica.com/doc/1273992/>

قره‌چلو، سعید؛ اکبری قوچانی، حسام؛ گلیان، سعید؛ گنجی، کامران؛ ۱۴۰۰. ارزیابی میزان فرونشست زمین در ارتباط با آب‌های زیرزمینی به کمک داده ماهواره‌ای راداری ستینل-۱ و الوس-۱ (منطقه موردمطالعه: دشت مشهد). نشریه سنجش از دور و سیستم اطلاعات جغرافیایی در منابع طبیعی. دوره ۱۲. شماره ۳ (پیاپی ۴۴). ۱۴-۱۱.

[https://girs.bushehr.iau.ir/article\\_680336.html](https://girs.bushehr.iau.ir/article_680336.html)

کیانی، فاطمه، عابدینی، موسی.، احمدزاده، غلامرضا. ۱۳۹۶. بررسی پتانسیل فرونشست شهرستان کرج با استفاده از روش تلفیق وزنی در محیط GIS، سومین کنگره بین‌المللی علوم زمین و توسعه شهری و اولین کنفرانس هنر، معماری و مدیریت شهری، تهران.

<https://civilica.com/doc/688569>

محبی تفرشی، غزاله.، نخعی، محمد.. لک، راضیه. ۱۳۹۹. ارزیابی تأثیر خصوصیات هیدرولوژی دشت ورامین بر فرونشست با تکیه بر مدل‌های ریاضی. رساله دکتری تخصصی (ph.D). دانشگاه خوارزمی.

<https://ganj.irandoc.ac.ir/#/articles/19268aee160b125f829a7e106b9ed95a>

محمودی دهشتiran، سیما؛ حجت، آزاده؛ رنجبر، حجت‌الله؛ کریمی نسب، سعید. ۱۳۹۵. تعیین محدوده‌های در معرض نشست حاصل از وجود قنات‌های پنهان در محدوده دانشگاه شهید باهنر کرمان با استفاده از سنجش از دور و سامانه اطلاعات جغرافیایی. مجله زمین‌شناسی کاربردی پیشرفته دانشگاه شهید چمران اهواز. دوره ۶. شماره ۱۹-۷۵. DOI: 10.22055/aag.2016.12146 ..۸۱

مختاری، داود؛ ابراهیمی، حمید؛ سلمانی، سعید؛ ۱۳۹۸. مدل‌سازی خطر وقوع فرونشست زمین با استفاده از الگوریتم جنگل تصادفی (مطالعه موردی: حوزه آبریز دشت تسوج). مجله سنجش از دور و سامانه اطلاعات جغرافیایی. دوره ۱۰. شماره ۳.۳. ۹۳-۱۰۵.

[https://girs.bushehr.iau.ir/article\\_668475.html](https://girs.bushehr.iau.ir/article_668475.html)  
مرادی، آیدین؛ عمادالدین، حسین؛ آرخی، صالح؛ رضائی، خلیل؛ ۱۳۹۹. تحلیل فرونشست زمین با استفاده از تکنیک تداخل‌سنگی راداری، اطلاعات چاه‌های ژئوتکنیکی و پیزومتری (مطالعه موردی: منطقه شهری ۱۸ تهران). نشریه تحلیل فضایی و مخاطرات محیطی. دوره ۷. شماره ۱. ۱۵۳-۱۷۶. DOI: 10.29252/jsaeh.7.1.11

مصلحی بهارانچی، علی؛ قاضی‌فرد، اکبر؛ روستایی، مه‌آسا؛ صفائی، همایون؛ ۱۳۹۰. بررسی علل ایجاد فرونشست زمین در دشت کاشان و ارائه راهکارهای مناسب جهت جلوگیری از آن. پایان‌نامه کارشناسی ارشد. دانشکده علوم. دانشگاه اصفهان. ۹۷-۱۵۳. DOI: <https://ganj.irandoc.ac.ir/#/articles/f041a3827a466e058f615c3776591df9>

میرزاوند، محمد؛ قاسمیه، هدی؛ ساداتی‌ژاد، سیدجواد؛ باقری، رحیم؛ کلارک، ایان‌دالکلاس؛ ۱۳۹۷. تعیین منشأ و مکانیسم شور شدن آب‌های زیرزمینی دشت کاشان با استفاده از روش‌های هیدرولوژیکی و ایزوتورپی. رساله دکتری. رشته علوم و مهندسی آبخیزداری. دانشکده منابع طبیعی و علوم زمین. دانشگاه کاشان.

<https://ganj.irandoc.ac.ir/#/articles/e777f2a890e83d0882316cfb1f1e1778>

نادری، کیوان؛ ندیری، عطاالله؛ اصغری مقدم، اصغر؛ کرد، مهدی؛ ۱۳۹۷. روشی جدید برای شناسایی و تعیین مناطق در معرض خطر فرونشست، مطالعه موردی: آبخوان دشت سلماس. فصلنامه اکوهیدرولوژی. دوره ۵. شماره ۱. ۸۵-۸۵. DOI: 10.22059/ije.2017.233252.601 .۹۷

- Abdollahi, S., Pourghasemi, H.R., Ghanbarian, G., Safaeian, R., 2019. Prioritization of effective factors in the occurrence of land subsidence and its susceptibility mapping using an SVM model and their different kernel functions. *Bulletin of Engineering Geology and the Environment*. 78(3): 4017–4034. DOI: 10.1007/s10064-018-1403-6.
- Al-Abadi, A., Al-Temmeme, A., Al-Ghanimy, A., 2016. A GIS-based combining of frequency ratio and index of entropy approaches for mapping groundwater availability zones at Badra-Al Al-Gharbi-Teeb areas, Iraq. *Sustain. Water Resources Management*, 2(3): 265-283. DOI:10.1007/s40899-016-0056-5.
- Ashraf, H., Cawood, F., 2015. Geospatial subsidence hazard modelling at Sterkfontein Caves. *South African Journal of Geomatics*. 4 (3): 273-284. DOI: 10.4314/sajg.v4i3.8.
- Dehghani, M., Rastegarfar, M., Ashrafi, R., Ghazipour, N., Khorramrooz, H., 2014. Interferometric SAR and geospatial techniques used for subsidence study in the Rafsanjan plain. *American Journal of Environmental Engineering*. 4 (2): 32–40. DOI: 10.5923/ j.ajee.20140402.03.
- Dempster, A.P., 1967. Upper and lower probabilities induced by a multi valued mapping. *The Annals of Mathematical Statistics*. 38: 325–339. <http://dx.doi.org/10.1214/aoms/1177698950>.
- Elith, J., Phillips, S.J., Hastie, T., Dudík, M., Chee, Y.E., Yates, C.J., 2011. A statistical explanation of MaxEnt for ecologists. *Diversity and Distribution*. 17(1): 43–57. <https://doi.org/10.1111/j.1472-4642.2010.00725.x>.
- Galloway, D.L., Burbey, Th.J., 2011. Regional land subsidence accompanying groundwater extraction, *Hydrogeology Journal*, 19(8): 1459–1486. <https://doi.org/10.1007/s10040-011-0775-5>.
- Ghorbanzadeh, O., Blaschke, T., Aryal, J., Gholaminia, K., 2018. A new GIS-based technique using an adaptive neuro-fuzzy inference system for land subsidence susceptibility mapping. *Journal of Spatial Science*. 65 (3): 401-418. <https://doi.org/10.1080/14498596.2018.1505564>.
- Kaitantzian, A., Loupasakis, C., Rozos, D.E., 2014. Assessment of geo-hazards triggered by both natural events and human activities in rapidly urbanized areas. *Engineering Geology for Society and Territory*, 5: 675–679. DOI: 10.1007/978-3-319-09048-1\_131.
- Kumar, H., HassanSyed, T., Amelung, F., Agrawal, R., Venkate, A.S., 2020. Space-time evolution of land subsidence in the National Capital Region of India using ALOS-1 and Sentinel-1 SAR data: Evidence for groundwater overexploitation. *Journal of Hydrology*. 605: 127329. <https://doi.org/10.1016/j.jhydrol.2021.127329>.
- Lee, S., 2007. Application and verification of fuzzy algebraic operators' landslide susceptibility mapping. *Environmental Geology*. 52(4): 615-623. DOI: 10.1007/s00254-006-0491-y.
- Liang, Y., Gu, K., Shi, B., Liu, S., Wu, J., Lu, Y., Inyang, H., 2022. Estimation of land subsidence potential via distributed fiber optic sensing. *Engineering Geology*. 298: 106540. <https://doi.org/10.1016/j.enggeo.2022.106540>.
- Mohammady, M., Pourghasemi, H.R., Amiri, M., 2019. Land subsidence susceptibility assessment using random forest machine learning algorithm. *Environment Earth Science*. 78 (16): 503. DOI: 10.1007/s12665-019-8518-3.
- Naghibi, S.A., Pourghasemi, H.R., Pourtaghie, Z.S., Rezaei, A., 2014. Groundwater qanat potential mapping using frequency ratio and Shannon's entropy models in the Moghan watershed, Iran. *Journal of Earth Sciences*. 8(1): 171-186. DOI: 10.1007/s12145-014-0145-7.
- Nguyen, M., Lin, Y.N., Tran, Q.C., Ni, Ch., Chan, Y., Tseng, K., Chang, Ch., 2022. Assessment of long-term ground subsidence and groundwater depletion in Hanoi, Vietnam. *Engineering Geology*. 299: 106555. DOI:10.1016/j.enggeo.2022.106555.
- Ozdemir, A., Altural, T., 2013. A comparative study of frequency ratio, weights of evidence and logistic regression methods for landslide susceptibility mapping: Sultan Mountains, SW

- Turkey. Journal of Asian Earth Sciences. 64: 180-197. <https://doi.org/10.1016/j.jseaes.2012.12.014>.
- Park, NW., 2010. Application of Dempster-Shafer theory of evidence to GIS-based landslide susceptibility analysis. Environmental Earth Science. 62(2): 367-376. DOI: 10.1007/s12665-010-0531-5
- Phillips, S.J., Anderson, R.P., Schapire, R.E., 2006. Maximum entropy modeling of species geographic distributions. Ecological Modeling. 190(3-4): 231-259. <https://doi.org/10.1016/j.ecolmodel.2005.03.026>.
- Pourghasemi, H.R., Mohammady, M., Pradhan, B., 2012. Landslide susceptibility mapping using index of entropy and conditional probability models in GIS: Safarood Basin, Iran. Catena. 97: 71-84. <https://doi.org/10.1016/j.catena.2012.05.005>.
- Pradhan P, Abokharima, M.H. Jebur, M.N. Shafapour Tehrany, M. 2014. Land subsidence susceptibility mapping at Kinta valley (Malaysia) using the Evidential Belief Function Model in GIS. Natural Hazards, 73 (2): 1019-1042. DOI:10.1007/s11069-014-1128-1.
- Pradhan, B., Lee, S., 2010. Landslide susceptibility assessment and factor effect analysis: back propagation artificial neural networks and their comparison with frequency ratio and bivariate logistic regression modelling. Environmental Modelling & Software. 25(6): 747-759. <https://doi.org/10.1016/j.envsoft.2009.10.016>.
- Rahmati, O., Falah, F., Naghibi, S.A., Biggs, T., Soltani, M., Deo, R.C., Cerda, A., Mohammadi, F., Tien Bui, D., 2019a. Land subsidence modelling using tree-based machine learning algorithms. Science of the Total Environment. 672: 239–252. <https://doi.org/10.1016/j.scitotenv.2019.03.496>.
- Rahmati, O., Golkarian, A., Biggs, T., Keesstra, S., Mohammadi, F., Daliakopoulos, I.N., 2019b. Land subsidence hazard modeling: Machine learning to identify predictors and the role of human activities. Journal of Environmental Management. 236: 466–480. <https://doi.org/10.1016/j.jenvman.2019.02.020>.
- Shafapour Tehrany, M., Shabani, F., Neamah Jebur, M., Hong, H., Chen, W., Xie, X., 2017. GIS-based spatial prediction of flood prone areas using standalone frequency ratio, logistic regression, weight of evidence and their ensemble techniques. Geomatics, Natural Hazards and Risk. 8 (2): 1538-1561. <https://doi.org/10.1080/19475705.2017.1362038>.
- Shafer, G.A., 1976. Mathematical theory of evidence. Princeton University Press. ISBN 0-608-02508-9. p. 314. <https://www.jstor.org/stable/j.ctv10vm1qb>.
- Shi, X., Jiang, S., Xu, H., Jiang, F., He, Z., Wu, J., 2016. The effects of artificial recharge on groundwater on controlling land subsidence and its influence on groundwater quality and aquifer energy storage in Shanghai, China. Environmental Earth Sciences. 75(3): 1-18. DOI: 10.1007/s12665-015-5019-x.
- Sun, J., Guo, E., Yang, X., Kong, Y., Yang, L., Liu, H., Lin, X., 2023. Seasonal and spatial variations in soil biochemical properties in areas with different degrees of mining subsidence in Central China. CATENA. 224: 106984. <https://doi.org/10.1016/j.catena.2023.106984>.
- Tien Bui, D.T., Shahabi, H., Shirzadi, A., Chapi, K., Pradhan, B., Chen, W., Khosravi, Kh., Panahi, M., Ahmad, B.B., Lee, S., 2018. Land subsidence susceptibility mapping in South Korea using Machine Learning Algorithms. Sensors. 18(8): 2464. DOI: 10.3390/s18082464.
- Tweed, S.O., Leblanc, M., Webb, J.A., Lubczynski, M.W., 2007. Remote sensing and GIS for mapping groundwater recharge and discharge areas in salinity prone catchments, southeastern Australia. Hydrogeology Journal. 15(1): 75-96. DOI:10.1007/s10040-006-0129-x.
- Ty, T.V., Minh, H.V.T., Ram Avtar, R., Kumar, P., Hiep, H.V., Kurasaki, M., 2021. Spatiotemporal variations in groundwater levels and the impact on land subsidence in CanTho, Vietnam. Groundwater for Sustainable Development. 15: 100680. <https://doi.org/10.1016/j.gsd.2021.100680>.

j.gsd.2021.100680.

- Yu, H., Gong, H., Chen, B., Liu, K., Gao, M., 2020. Analysis of the influence of groundwater on land subsidence in Beijing based on the geographical weighted regression (GWR) model. *Science of The Total Environment.* 738: 139405. <https://doi.org/10.1016/j.scitotenv.2020.139405>.
- Zamanirad, M., Sarraf, A., Sedghi, H., Saremi, A., Rezaee, P., 2020. Modeling the Inlfuence of Groundwater Exploitation on Land Subsidence Susceptibility Using Machine Learning Algorithms. *Natural Resources Research.* 29(2): 1127-1141. <https://doi.org/10.1007/s11053-019-09490-9>.
- Zhou, Y., Li, W., 2011. A Review of regional groundwater flow modeling. *Geoscience Frontiers.* 2(2): 205-214. DOI: 10.1016/j.gsf.2011.03.003.
- Zhu, L., Zhua, L., Gonga, H., Chen, Y., Wang, Sh., Ke, Y., Guo, G., Li, X., Chen, B., Wang, H., Teatini, P., 2020. Effects of water diversion project on groundwater system and land subsidence in Beijing, China. *Engineering Geology.* 276: 105763. DOI: 10.1016/j.enggeo.2020.105763.

